



EVROPSKÁ UNIE
Evropské strukturální a investiční fondy
Operační program doprava

Ministerstvo dopravy
Státní fond dopravní
infrastruktury





SO 10-41 ČÁST E.1.4

VÝŠKOVÝ SYSTÉM Bpv SOUŘADNICOVÝ SYSTÉM S-JTSK

Číslo změny:	Obsah změny:	Datum změny:
01	-	-
02	-	-
03	-	-

Objednatel:	 SPRÁVA ŽELEZNIČNÍ DOPRAVNÍ CESTY	Správa železniční dopravní cesty, s.o. Dlážděná 1003/7, 110 00 Praha 1 Stavební správa západ Sokolovská 278/1955, 190 00 Praha 9
-------------	---	---

Sdružení: „SEU + SP_Bezbariérové přístupy žst. Roudnice_P“	 SUDOP EU	 SUDOP PRAHA
--	---	--

Zpracovatel částí:	 SUDOP PRAHA	Hlavní inženýr projektu: ING. STANISLAV JAROŠ
	SUDOP PRAHA a.s. Olšanská 1a, 130 80 Praha Tel.: +420 267 094 111 E-mail: praha@sudop.cz	Garant profese: -

Středisko: MOSTŮ			
Vedoucí střediska:	Odpovědný projektant SO, IO, PS:	Vypracoval:	Kontroloval:
ING. DANA WANGLER	ING. JAKUB GÖRINGER, Ph.D.	ING. JAKUB GÖRINGER, Ph.D.	ING. JIŘÍ ELBEL

Název akce:	REKONSTRUKCE NÁSTUPIŠŤ A ZŘÍZENÍ BEZBARIÉROVÝCH PŘÍSTUPŮ V ŽST. ROUDNICE N. L.		Číslo smlouvy:	17-091.640
			Projektový stupeň:	DSP
název PS/SO:	SO 10-41 ÚPRAVA MOSTU V KM 476,480		Datum:	10 / 2019
			Číslo částí:	E.1.4
Název přílohy:	STATICKÝ VÝPOČET		Měřítko:	-
			Počet formátů:	x A4
			Číslo přílohy:	10

Obsah

1	Identifikační údaje mostu	3
2	Základní údaje o mostu	4
2.1	Založení	5
2.2	Nosná konstrukce	5
2.2.1	Římsová deska.....	5
2.2.2	Klenby	5
2.3	Materiály	6
2.3.1	Beton	6
2.3.2	Betonářská výstuž	6
3	Úvod.....	7
3.1	Rozsah a účel statického výpočtu.....	7
3.2	Metodika výpočtu	7
3.3	Použité programové vybavení	7
4	Statický výpočet.....	8
4.1	Výpočet zatížení	8
4.1.1	Úvod	8
4.1.2	Skupina zatížení G0 – stálé – vlastní tíha.....	8
4.1.3	Skupina zatěžovacích stavů G1 – ostatní stálé	8
4.1.4	Skupina zatěžovacích stavů W – zatížení větrem	8
4.1.5	Skupina zatěžovacích stavů T – zatížení teplotou.....	9
4.1.6	Skupina zatěžovacích stavů P – svislá železniční zatížení	9
4.1.7	Skupina zatěžovacích stavů R – Zatížení bočním rázem.....	10
4.1.8	Skupina zatěžovacích stavů B – Zatížení rozjezdovými a brzdnými silami	11
4.1.9	Skupina zat. stavů K – zatížení teplotním rozdílem mezi kolejí a NK.....	11
4.1.10	Skupina zat. stavů S – účinky nerovnoměrného sedání opěr.....	11
4.1.11	Rozsah dopravy pro posouzení na únavu	11
4.2	Model konstrukce	12
4.2.1	Popis modelu.....	12
4.3	Posouzení nosné konstrukce	12
4.4	Posouzení únavy	16
4.5	Mezní stavy použitelnosti – přetvoření a deformace.....	19
4.5.1	Svislý průhyb nosné konstrukce.....	19
4.5.2	Deformace koncového průřezu	19
4.5.3	Dynamická analýza	20
4.6	Založení.....	21
4.6.1	Svislá tuhost mikropilot	21
4.6.2	Posouzení	21
5	Přechodnost stávající konstrukce	24
5.1	Provozní zatížení	24
5.2	Materiálové charakteristiky	24
5.3	Posouzení průřezů	25
5.3.1	Přechodnost konstrukce.....	25
5.3.2	Zatížitelnost konstrukce	30
6	Závěr	33
7	Předpisy, normy, použité podklady	34
7.1	Normy	34

8	Příloha A - Zatížitelnost	35
8.1	Úvod.....	35
8.2	Výpočet zatížitelnosti.....	35
8.3	Přehled zatížitelnosti částí mostu	36
8.3.1	Nová konstrukce	36
8.3.2	Stávající konstrukce	37

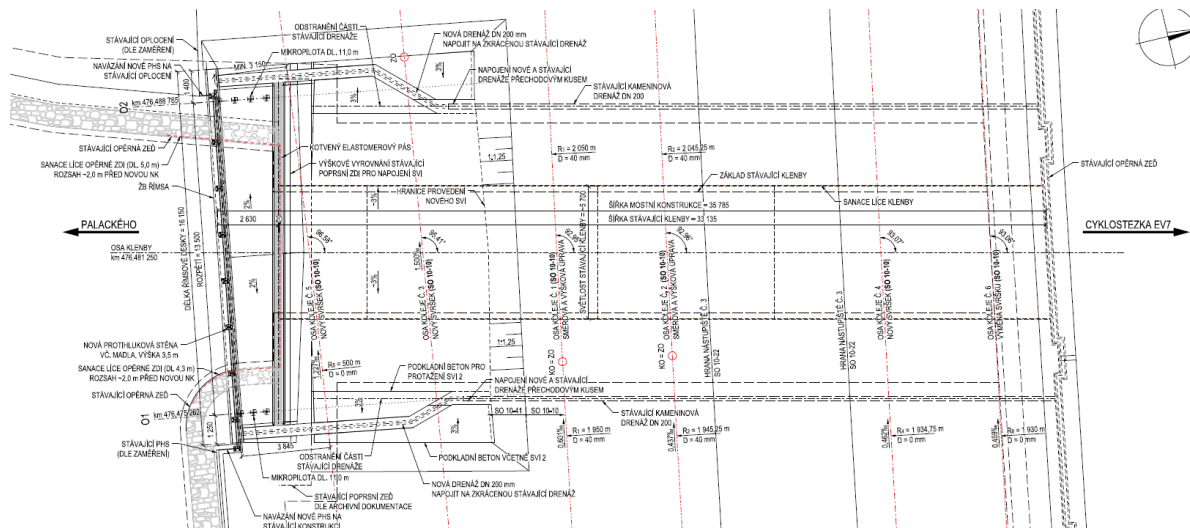
1 Identifikační údaje mostu

- 1.1 Stavba: Rekonstrukce nástupišť a zřízení bezbariérových přístupů v žst. Roudnice n. L.
- 1.2 Objekt: SO 10-41 Úprava mostu v km 476,480
- 1.3 Katastrální území: Roudnice nad Labem
- 1.4 Kraj: Ústecký
- 1.5 Objednatel: Správa železniční dopravní cesty, státní organizace,
se sídlem Praha 1, Dlážďená 1003/7, PSČ 110 00,
IČ: 70994234, DIČ: CZ70994234
- HIS: Ing. Pavel Vozka
- 1.6 Správce mostu: Správa železniční dopravní cesty, s. o., Oblastní ředitelství Ústí nad Labem, Správa mostů a tunelů
- 1.7 Projekt stavby:
- Zhotovitel projektu: Společníci společnosti „SEU + SP_Bezbariérové přístupy žst. Roudnice_P“
- SUDOP EU a.s.**
Praha 3, Žižkov, Olšanská 2643/1a, PSČ 130 00
IČ: 05165024
(dále též „Společník 1“ nebo „Správce“)
- SUDOP PRAHA a.s.**
Praha 3, Žižkov, Olšanská 2643/1a, PSČ 130 00
IČ: 25793349
- HIP: Ing. Stanislav Jaroš
- SO 10-41:** **Ing. Jakub Göringer, Ph.D.**
e-mail: jakub.goringer@sudop.cz
tel: +420 267 094 128
- 1.8 Evidenční km: žkm 476,480
- Staničení mostu: km 476,481 250
- Traťový úsek: 0801 Praha Masarykovo nádraží st. 4 (mimo) – Děčín hl. n. (včetně)
- Definiční úsek: K1 žst. Roudnice nad Labem
- 1.9 Poloha mostu: staniční obvod
- 1.10 Překonávané překážky: přístupová komunikace k cyklostezce u Labe

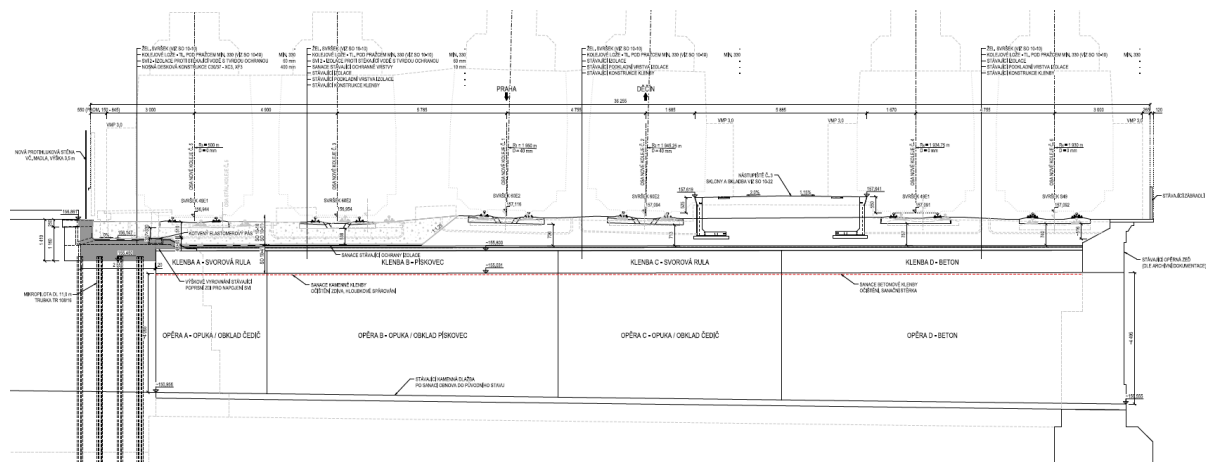
2 Základní údaje o mostu

Trvalý železniční most o jednom mostním otvoru. Objekt je tvořen kamennou a betonovou klenbou. Na levé straně ve směru staničení je římsová deska s protihlukovou stěnou. Římsová deska je založena na mikropilotách.

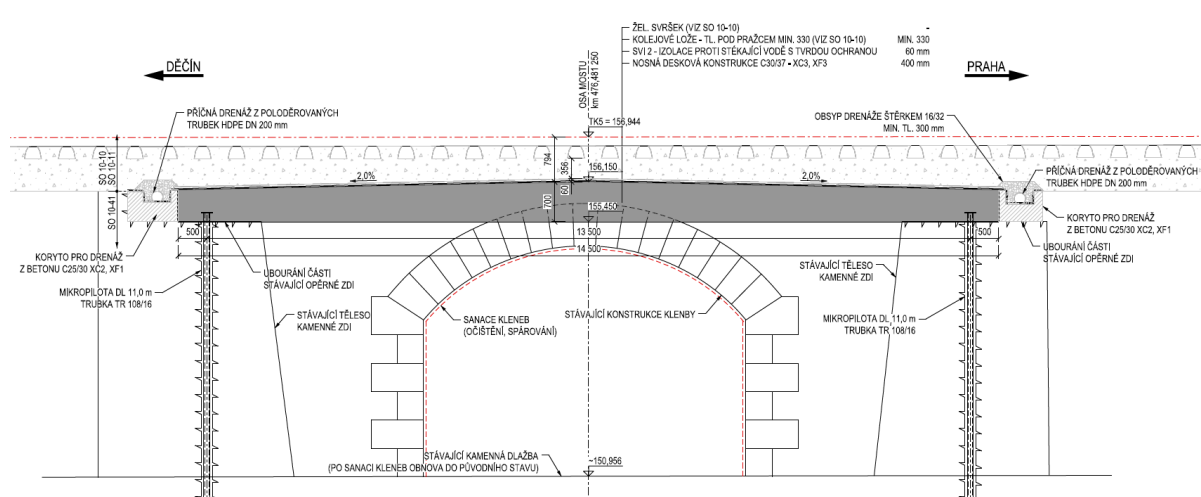
Obrázek 2-1: Nový stav - půdorys



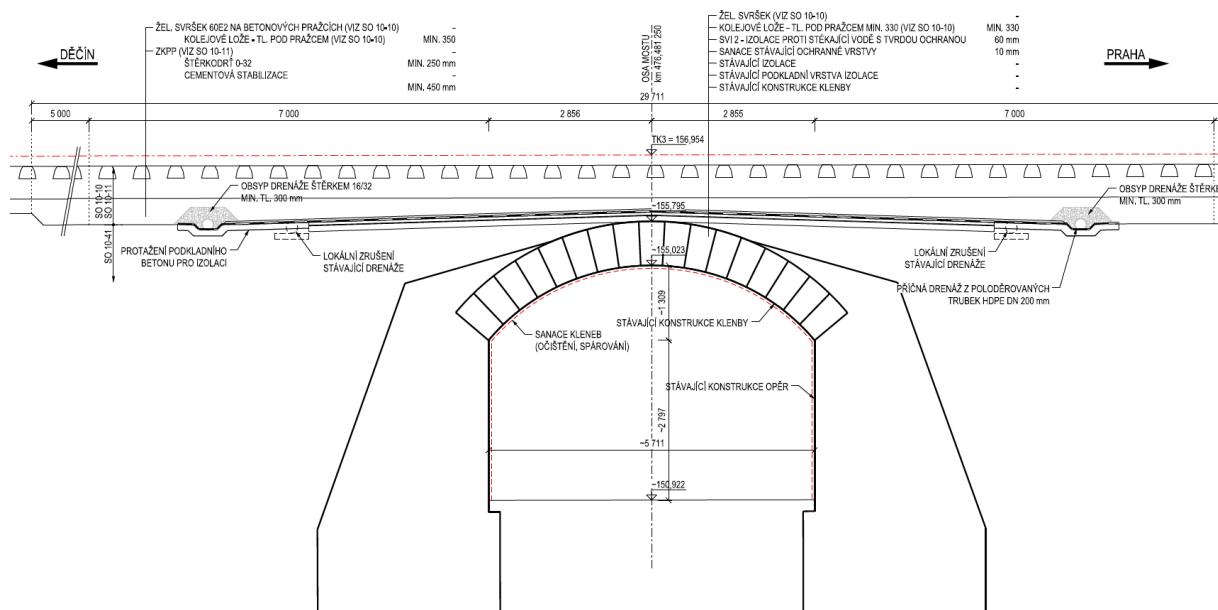
Obrázek 2-2: Nový stav – příčný řez NK



Obrázek 2-3: Nový stav – podélný řez římsovou deskou



Obrázek 2-4: Nový stav – podélný řez klenbou



2.1 Založení

Založení římsové desky je navrženo pomocí mikropilot (MP). Na OP1 je uvažováno s 3 ks MP s osovou vzdáleností 0,56 m. Na OP2 je uvažováno se 4 ks MP s osovou vzdáleností 0,69 m. Mikropiloty jsou navrženy z trubek Ø108/16 délky 11,0 m.

Klenbová konstrukce je založena plošně.

2.2 Nosná konstrukce

2.2.1 Římsová deska

Rozšíření nosné konstrukce klenby je navrženo pomocí ŽB desky s rozpětím 13,5 m a celkovou délkou 16,15 m (14,5 m deska, na kterou navazují vykonzolování říms délky 0,75 m OP1 a 0,9 m OP2). Šířka nové desky je proměnná od 2,118 m do 3,123 m. Tloušťka desky uprostřed rozpětí je 0,7 m a s ohledem na podélný střešovitý spád konstrukce 2,0% směrem k uložení klesá až na hodnotu 0,555 m na koncích.

Deska je uložena na odbourané konstrukce opěrných zdí a na mikropilotách, jejichž hlavy jsou do desky zabetonovány. Od klenby a poprsní zdi je oddělena podélnou dilatační spárou.

2.2.2 Klenby

S ohledem na dobrý stav klenby a jejich nedávnou sanaci je navrženo pouze jejich očištění a hloubkové spárování. U betonové části se po očištění provede srovnání povrchu sanační hmotou a zhotoví se sjednocující nátěr.

Stávající klenbová konstrukce je rozdělena na 4 části, které byly přistavovány společně s historickým rozšiřováním kolejiště. Tři části jsou kamenné (dvě části klenby jsou ze svorové ruly, jedna část klenby je z pískovce) a jedna část je betonová. Opěry jsou ze skládané opuky s lícovým kamenem z čediče, respektive pískovce. Betonová klenba má i betonovou opěru.

2.3 Materiály

2.3.1 Beton

Tabulka 2-1: Použité betony

Konstrukční část stavby	Min. třída betonu	Stupeň vlivu prostředí
Nosná konstrukce	C30/37	XD1, XF2

2.3.2 Betonářská výztuž

Výztuž je navržena prutová z žebírkové oceli B 500B.

3 Úvod

3.1 Rozsah a účel statického výpočtu

Tento statický výpočet je nedílnou součástí projektové dokumentace SO 10-41. Statický výpočet je nutno považovat za závazný pro provádění mostního objektu.

Statický výpočet byl zpracován bez znalosti konkrétního zhotovitele SO 10-41. Případné změny, které by vyplynuly z realizační dokumentace zhotovitele, musí být odsouhlaseny odpovědným projektantem objektu a schváleny objednatelem.

Cílem statického výpočtu je návrh a posouzení prvků **nosné konstrukce mostu** a jejích detailů v rozsahu PROJEKT.

3.2 Metodika výpočtu

Statický výpočet byl proveden s ohledem na platný soubor norem ČSN a ČSN EN:

- dle metodiky mezních stavů

Ve statickém výpočtu jsou posouzeny tyto mezní stavy:

- mezní stavy únosnosti
 - únosnost ŽB průřezů pro kombinaci namáhání M+N+V
 - únosnost při únavovém zatížení
- mezní stavy použitelnosti
 - omezení napětí od charakteristického zatížení
 - ověření šířky trhlin od kvazistálé kombinace zatížení
 - ověření svislých deformací
 - ověření náchylnosti k rezonancím

3.3 Použité programové vybavení

Pro globální analýzu železobetonové nosné konstrukce byl využit MKP software SCIA Engineer 2008.1 (v8.1.220). Pro posouzení přechodnosti klenby SW LimitState RING 3.0. Pro dílčí posouzení kritických průřezů byl využit tabulkový procesor MS Excel 365 (železobetonové průřezy).

4 Statický výpočet

4.1 Výpočet zatížení

4.1.1 Úvod

Most je navržen na zatížení dopravou dle evropské normy ČSN EN 1991-2 ed.2 „Zatížení konstrukcí, Část 2: Zatížení dopravou“.

Uvažovaná zatěžovací schémata vycházejí ze zařídění do 2. třídy tratí dle „Kategorizace železničních tratí konvenčního železničního systému (CR) z hlediska mostů“ ČSN EN 1991-2 ed.2:

- zatěžovací schéma **71** (dle ČSN EN 1991-2) klasifikované součinitelem **$\alpha=1,21$** (dle NA k ČSN EN 1991-2), které reprezentuje statický účinek běžné železniční dopravy;

Dynamické účinky pohyblivého zatížení jsou uvažovány dle ČSN EN 1991-2 čl. 6.4.5 pro standardně udržovanou kolej, dynamický součinitel δ_3 – MSÚ; a pro pečlivě udržovanou kolej, dynamický součinitel δ_2 – MSP. Parciální součinitele zatížení jsou uvažovány dle téže normy. Roznos zatížení šterkovým ložem je uvažován ve sklonu 4:1 dle ČSN EN 1991-2 čl. 6.3.6.3.

Obecná zatížení (tíha materiálů aj.) bylo uvažováno dle ČSN EN 1991-1-1.

Zatížení větrem bylo uvažováno dle ČSN EN 1991-1-4.

Zatížení teplotou bylo uvažováno dle ČSN EN 1991-1-5.

Kombinace zatížení byly použity dle ČSN EN 1990 ed. 2./A2 včetně sestav zatížení.

4.1.2 Skupina zatížení G0 – stálé – vlastní tíha

Zatížení vlastní tíhou je automaticky generováno použitým programem MIDAS Civil, resp. SCIA Engineer.

4.1.3 Skupina zatěžovacích stavů G1 – ostatní stálé

Uvažovaná zatížení jsou zadávána plošně s odpovídajícím roznosem, liniově nebo v případě koncentrovaných zatížení jako osamělá břemena, tak aby jejich umístění co nejvíce odpovídalo skutečnosti.

Plošná zatížení				
Označ.	Popis	tl.	γ	q
		[m]	[kN/m ³]	[kN/m ²]
G1	Kolejové lože	0.62	23.00	14.26
G1	Ochrana izolace 50 mm	0.05	25.00	1.25
G1	Izolace 10 mm	0.01	24.00	0.24

4.1.4 Skupina zatěžovacích stavů W – zatížení větrem

S ohledem na působení konstrukce bylo na nosnou konstrukci zanedbáno. Účinky větru byly uvažovány pro novou konstrukci PHS. Zjednodušeně byla pro posouzení účinků od větru uvažována oblast A pro poměr $l/h = 5$. Součinitel tlaku c

Charakteristiky zatížení větrem

výchozí rychlost větru	$v_{b,0} =$	25.00	m/s	posuzovaná výška	$z =$	9.00	m		
kategorie terénu	kat	II	m/s	$z_0 =$	0.05	m	$z_{min} =$	2.00	m

základní rychlost větru $v_b =$ 25.00 m/s

součinitel směru větru $c_{dir} =$ 1.00 -

součinitel ročního období $c_{season} =$ 1.00 -

střední rychlost větru $v_m(z) =$ 24.67 m/s

součinitel drsnosti terénu $c_r(z) =$ 0.99 -

součinitel terénu $k_r =$ 0.19 -

turbulence větru $I_v(z) =$ 0.19 -

souč. turbulence $k_t =$ 1.00 -

souč. orografie $c_0 =$ 1.00 -

maximální dynamický tlak $q_p(z) =$ 892.88 Pa

souč. expozice $c_e =$ 2.29 -

4.1.5 Skupina zatěžovacích stavů T – zatížení teplotou

S ohledem na systém působení konstrukce – prostý nosník byly účinky teploty zanedbány.

4.1.6 Skupina zatěžovacích stavů P – svislá železniční zatížení

Pro vyhodnocení svislých pohyblivých zatížení od dopravy bylo využito generované zatížení po trase v programu SCIA Engineer. Pro kolej č. 5 byla definována dráha, která kopíruje její směrové vedení.

Excentricita pohyblivého zatížení nebyla zadávána s ohledem na její zanedbatelné účinky na tento typ konstrukcí.

Dynamické součinitele byly uvažovány dle ČSN EN 1991-2. Pro mezní stavy použitelnosti byl využit dynamický součinitel pro pečlivě udržovanou kolej, pro mezní stavy použitelnosti byl využit dynamický součinitel pro standardně udržovanou kolej.

Dynamický součinitel

pro standardně udržovanou kolej $\Phi_3 = 2,16/(L_\Phi^{0,5-0,2})+0,73 < 2,00$

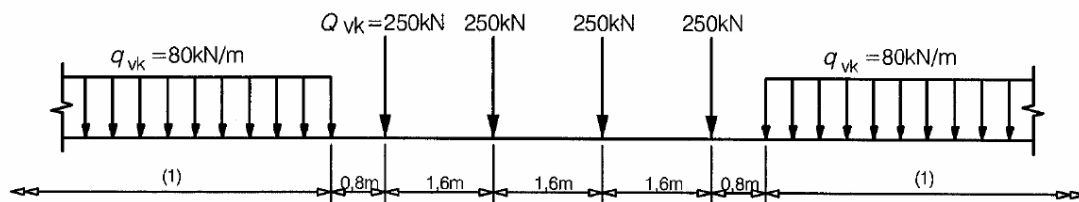
pro pečlivě udržovanou kolej $\Phi_2 = 1,73/(L_\Phi^{0,5-0,2})+0,82 < 1,67$

Náhradní délky prvků NK

			Φ_3	Φ_2
hlavní nosná konstrukce	$L =$	m		
	$L_\Phi = L$	m		
	$L_\Phi = 13.50$	m	1.352	1.234

Zatěžovací schéma LM71 klasifikované součinitelem α , s osamělými nápravovými silami

klasifikační součinitel	$\alpha = 1.21$	-
nápravová síla, char. hodnota	$Q_{71,1,k} = \alpha \cdot 250$	kN
	$= 302.5$	kN
rovnoměrné zatížení, char. hodnota	$q_{71,2,k} = \alpha \cdot 80$	kN/m
	$= 96.8$	kN/m



4.1.7 Skupina zatěžovacích stavů R – Zatížení bočním rázem

S ohledem na působení konstrukce bylo zanedbáno.

4.1.8 Skupina zatěžovacích stavů B – Zatížení rozjezdovými a brzdnými silami

S ohledem na malý rozsah koleje na konstrukci římsové desky bylo zanedbáno.

4.1.9 Skupina zat. stavů K – zatížení teplotním rozdílem mezi kolejí a NK

S ohledem na typ konstrukce bylo zanedbáno.

4.1.10 Skupina zat. stavů S – účinky nerovnoměrného sedání opěr

S ohledem na statické působení konstrukce bylo zanedbáno.

4.1.11 Rozsah dopravy pro posouzení na únavu

Pro posouzení na únavu byly využity výhledové rozsahy dopravy dle části B.02 – Provozní a dopravní technologie.

Pro kolej č. 5 byl vypočten na základě informací o koleji 1 a 2 odhad (výpočet dle S3, díl 02).

- $T_v =$ 0,50 (odhad 10% koleje č. 1)
- $T_m =$ 3,53 (odhad 1/5 koleje č. 1)
- $S_v = S_m =$ 1,00 (50 km/h)
- $L_v =$ 1,08 (převážně vedené lokomotivou)
- $L_m =$ 1,02 (pro $K_m = 1,15$)
- $K_m =$ 1,15 (v ČR vždy)

Tabulka 4-1: Rozsah dopravy pro jednotlivé koleje

Kolej	T_i (mil. hr. t / rok)
1	33,14
2	25,39
3	4,68 (odhad)

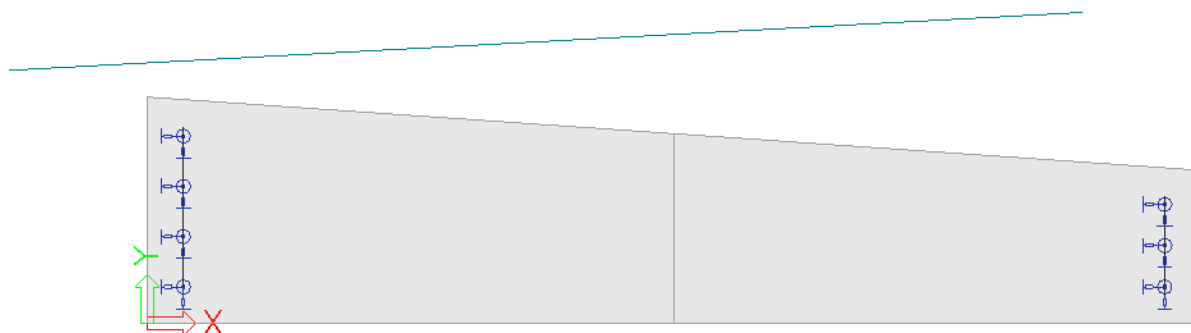
4.2 Model konstrukce

Výpočet vnitřních sil pro římsovou desku byl proveden na desko-stěnovém modelu v MKP SCIA Engineer. Vnitřní síly byly vyhodnocovány na řezech délky 1,0 m vedených v nejméně příznivých oblastech.

4.2.1 Popis modelu

Nosná konstrukce byla modelována deskou s proměnnou výškou dle navrženého tvaru. Mikropilotové podepření bylo nahrazeno pružnými podporami s tuhostí odvozenou ze zatěžovací křivky.

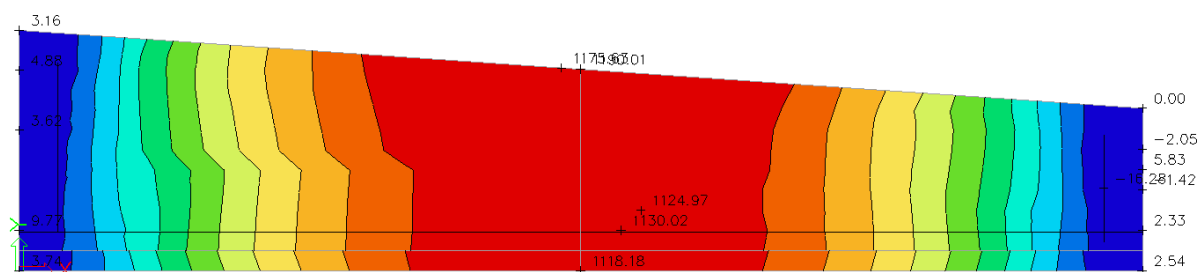
Obrázek 4-1: Model konstrukce – půdorys vč. osy koleje



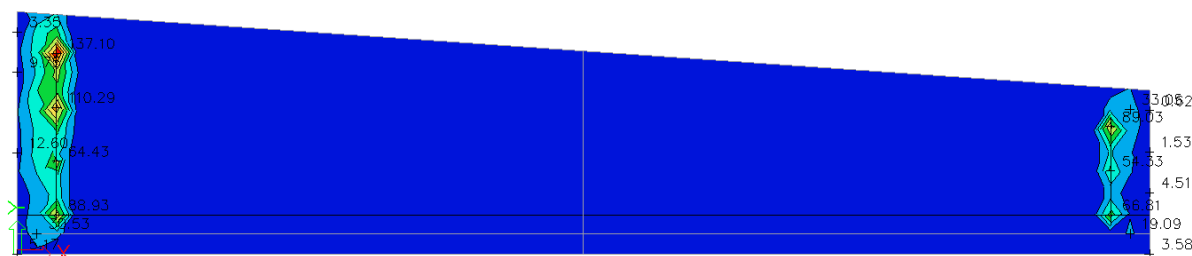
4.3 Posouzení nosné konstrukce

Římsová deska je navržena proměnné tloušťky od cca 550 mm v ose uložení do 700 mm uprostřed. Posouzení bylo provedeno na základě vnitřních sil průměrovaných na délku 1,0 m v úseku nejméně příznivých namáhání.

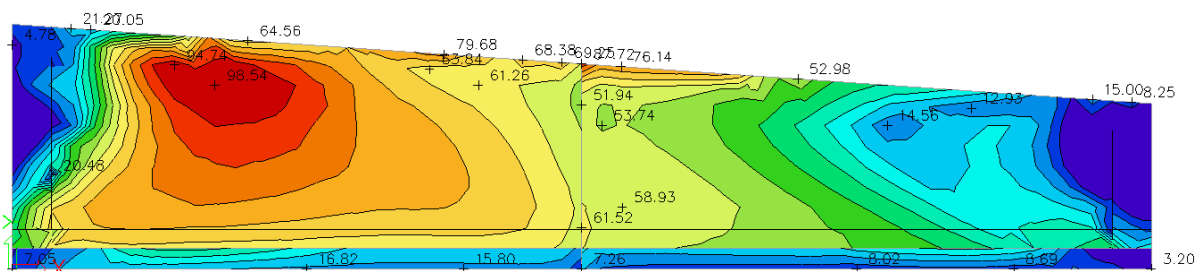
▪ Římsová deska – $mxD-$ [kNm/m]



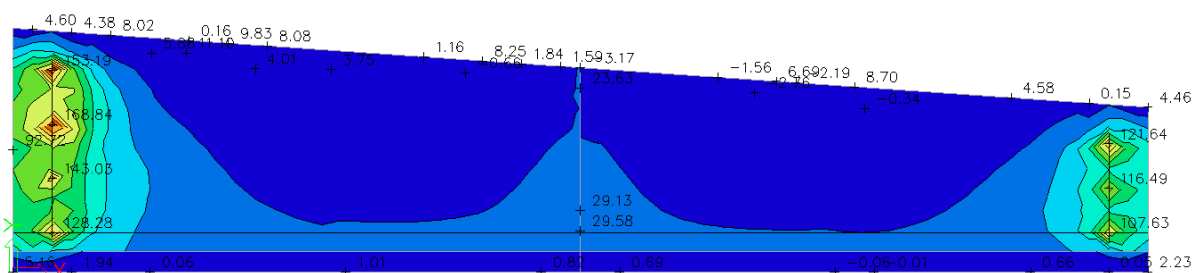
▪ Římsová deska – $mxD+$ [kNm/m]



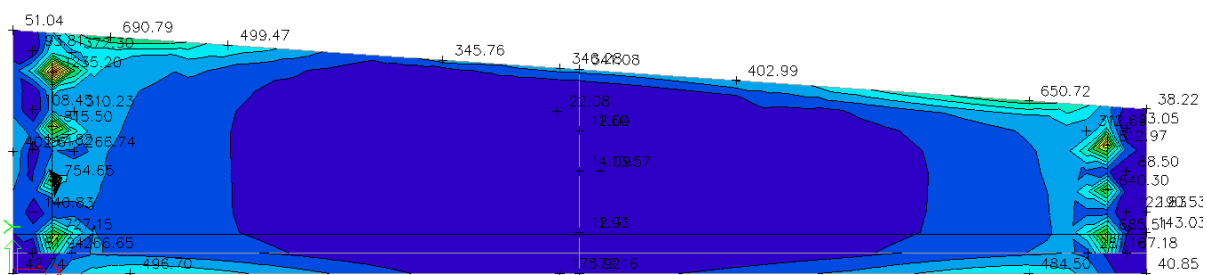
▪ Římsová deska – $m_y D^-$ [kNm/m]



▪ Římsová deska – $m_y D^+$ [kNm/m]



▪ Římsová deska – q_{max} [kN/m]



- spodní výztuž (podélná) – pole

Deska - pole									
Průřez									
b _{eff} = 1000 mm	b _w = 1000 mm	H = 700 mm							
c ₁ = 55 mm	c ₂ = 55 mm	W _{k,max} = 0.20 mm							
Materiály									
ocel: B 500	B	beton: C30/37							
f _{yk} = 500 MPa	f _{yk} = 500 MPa	f _{ck} = 30.0 MPa							
f _{yd} = 434.8 MPa	f _{yd} = 434.8 MPa	E _{cm} = 33.0 GPa							
E _y = 200.0 GPa	E _y = 200.0 GPa	f _{td} = 18.0 MPa							
ε _{yk} = 50 [-10 ⁻³]	ε _{yk} = 50 [-10 ⁻³]	f _{ct,m} = 2.9 MPa							
		ε _{ck} = -1.75							
Ohybová výztuž									
6.66667 Ø 32 mm	1. řada	A _{s1,1} = 5362 mm ²	(0.766%)						
6.66667 Ø 25 mm	2. řada	A _{s1,2} = 3272 mm ²	(0.467%)						
0 Ø 28 mm	3. řada	A _{s1,3} = mm ²	(0.000%)						
6.66667 Ø 20 mm		A _{s2} = 2094 mm ²	(0.299%)						
Rozdělovací výztuž (minimální)									
35.0 Ø 8 mm	A _{s,perp} = 1727 mm ²	Stupeň výztužení							
(pro desky)									
Smyková výztuž									
3.33333 Ø 10 mm	A _{w,sloup} = 262 mm ²	α _w = 90							
0 Ø 16 mm	A _{w,sloup} = 873 mm ² /m ²	p _{w,s} = 0.09%							
0 Ø 16 mm	A _{w,bend} = mm ²	α _b = 45							
Stupeň výztužení									
p _{w,s,min} < p _{w,s} < p _{w,s,max}									
0.09% < 0.09% < 1.00%									
Vyhovuje									
Vnitřní síly na průřezu									
M _{Ed} = 1157 kNm	N _{Ed} = 176 kN	V _{Ed} = 70 kN	(MSÚ)						
Excentricita pro MSÚ:									
M _{Ed,char} = 861 kNm	N _{Ed,char} = 0 kN	e _{Ed,char} = 0.000 m	(Charakteristická)						
M _{Ed,kvazi} = 769 kNm	N _{Ed,kvazi} = 0 kN	e _{Ed,kvazi} = 0.000 m	(Kvazistálá)						
Štíhlostní kritérium									
l ₀ = 0.7 * 0 = 0.000 m	λ _{sloup} = 0.000	λ = 0.000	L = 0.00 m						
i = √(0.029 / 0.700) = 0.202 m	λ _{sloup} = 500.000	λ = 0.000	λ = 0.000 / 0.202 = 0.000						
Posouzení									
Smyková únosnost - bez smykové výztuže									
V _{Ed,s} = (0.12 * 1.568 * 1.395 * 30.0 * 0.15 * -0.251) * 1000 = 0.381 MN									
Posouzení									
V _{Ed,s} = 0.381 MN	V _{Ed} = 0.070 MN	18%	Vyhovuje						
Smyková únosnost - se smykovou výztuží									
1 < cot θ = 1.428 < 2.5	θ = 35.00°	Vyhovuje							
Sklon tlakových diagonál									
soudržitel redukce únosnosti tlak. diag.									
Dodatečná tahová síla									
ΔF _{td} = 1 * 70 * (1.428 - 0.000) = 0.100 MN									
Únosnost tlakové diagonály									
V _{Ed,max} = 0.528 * 18.0 * 1000 * 509 / (0.70021 + 1.42815) = 2.274 MN									
Únosnost třmínků									
V _{Ed,st} = 262 * 434.8 * 0.509 * 1.42815 / 300 = 0.276 MN									
Únosnost ohybů									
V _{Ed,b} = 0 * 434.8 * 0.707 * 0.509 * 2.42815 / 450 = 0.000 MN									
Posouzení									
V _{Ed,s} = 0.276 MN	V _{Ed} = 0.070 MN	25%	Vyhovuje						

Stavení napjatosti průřezu na MSÚ (M+N+V)									
Úprava polohy N.O.									
Průřez									
Průřez									
Průřez									
Průřez									
Průřez									
Průřez									
Průřez									
Průřez									
Průřez									
Průřez									
Průřez									
Průřez									
Průřez									
Průřez									
Průřez									
Průřez									
Průřez									
Průřez									
Průřez									
Průřez									
Průřez									
Průřez									
Průřez									
Průřez									
Průřez									
Průřez									
Průřez									
Průřez									
Průřez									
Průřez									
Průřez									
Průřez									
Průřez									
Průřez									
Průřez									
Průřez									
Průřez									
Průřez									
Průřez									
Průřez									
Průřez									
Průřez									
Průřez									
Průřez									
Průřez									
Průřez									
Průřez									
Průřez									
Průřez									
Průřez									
Průřez									
Průřez									
Průřez									
Průřez									
Průřez									
Průřez									
Průřez									
Průřez									
Průřez									
Průřez									
Průřez									
Průřez									
Průřez									
Průřez									
Průřez									
Průřez									
Průřez									
Průřez									
Průřez									
Průřez									
Průřez									
Průřez									
Průřez									
Průřez									
Průřez									
Průřez									
Průřez									
Průřez									
Průřez									
Průřez									
Průřez									
Průřez									
Průřez									
Průřez									
Průřez									
Průřez									
Průřez									
Průřez									
Průřez									
Průřez									
Průřez									
Průřez									
Průřez									
Průřez									
Průřez									
Průřez									
Průřez									
Průřez									
Průřez									
Průřez									
Průřez									
Průřez									
Průřez									
Průřez									
Průřez									
Průřez									
Průřez									
Průřez									
Průřez									
Průřez									
Průřez									
Průřez									
Průřez									
Průřez									
Průřez									
Průřez									
Průřez									
Průřez									
Průřez									
Průřez									
Průřez									
Průřez									
Průřez									
Průřez									
Průřez									
Průřez									
Průřez									
Průřez									
Průřez									
Průřez									
Průřez									
Průřez									
Průřez									
Průřez									
Průřez									
Průřez									
Průřez									
Průřez									
Průřez									
Průřez									
Průřez									
Průřez									
Průřez									
Průřez									
Průřez									
Průřez									
Průřez									
Průřez									
Průřez									
Průřez									
Průřez									
Průřez									
Průřez									
Průřez									
Průřez									
Průřez									
Průřez									
Průřez									
Průřez									
Průřez									
Průřez									
Průřez									
Průřez									
Průřez									
Průřez									
Průřez									
Průřez									
Průřez									
Průřez									
Průřez									
Průřez									
Průřez									
Průřez									
Průřez									
Průřez									
Průřez									
Průřez									
Průřez									
Průřez									
Průřez									
Průřez									
Průřez									
Průřez									
Průřez									
Průřez									
Průřez									
Průřez									
Průřez									
Průřez									
Průřez									
Průřez									
Průřez									
Průřez									
Průřez									
Průřez									
Průřez									
Průřez									
Průřez									
Průřez									
Průřez									
Průřez									

Deska - 1/4									
Průřez									
b_{eff} = 1000 mm	b_w = 1000 mm	H = 550 mm	$W_{k,max}$ = 0.20 mm	W_k = 55 mm	H = 550 mm	$W_{k,max}$ = 0.20 mm	W_k = 55 mm	XD, XS, XF	
C_1	C_2	C_3	C_4	C_5	C_6	C_7	C_8	C_9	C_{10}
Materiály									
beton: C30/37									
f_{yk} = 500 MPa	f_{td} = 1.15	α_{cc} = 0.9	E_{cm} = 33.0 GPa	f_{ck} = 30.0 MPa	f_{yk} = 500 MPa	f_{td} = 1.15	α_{cc} = 0.9	E_{cm} = 33.0 GPa	f_{ck} = 30.0 MPa
f_{yd} = 434.8 MPa	γ_c = 1.5	γ_s = 1.05	f_{td} = 18.0 MPa	f_{ck} = 30.0 MPa	f_{yk} = 500 MPa	f_{td} = 1.15	α_{cc} = 0.9	E_{cm} = 33.0 GPa	f_{ck} = 30.0 MPa
$E_{s,k}$ = 200.0 GPa	$k = f_{td}/f_{yk}$	$\alpha_s = 6.06$	$f_{s,k,max}$ = 2.9 MPa	$f_{s,k,max}$ = 2.9 MPa	$E_{s,k}$ = 200.0 GPa	$k = f_{td}/f_{yk}$	$\alpha_s = 6.06$	$f_{s,k,max}$ = 2.9 MPa	$f_{s,k,max}$ = 2.9 MPa
σ_{sk} = 50 [10 ⁻³]	σ_{sk} = -1.75	σ_{sk} = -3.5 [10 ⁻³]	σ_{sk} = -3.5 [10 ⁻³]	σ_{sk} = -3.5 [10 ⁻³]	σ_{sk} = 50 [10 ⁻³]	σ_{sk} = -1.75	σ_{sk} = -3.5 [10 ⁻³]	σ_{sk} = -3.5 [10 ⁻³]	σ_{sk} = -3.5 [10 ⁻³]
Ohybová výtěžnost									
1. řada	2. řada	3. řada	4. řada	5. řada	6. řada	7. řada	8. řada	9. řada	10. řada
$A_{s,1,1}$ = 754 mm ²	$A_{s,1,2}$ = mm ²	$A_{s,1,3}$ = mm ²	$A_{s,1,4}$ = mm ²	$A_{s,1,5}$ = mm ²	$A_{s,1,6}$ = mm ²	$A_{s,1,7}$ = mm ²	$A_{s,1,8}$ = mm ²	$A_{s,1,9}$ = mm ²	$A_{s,1,10}$ = mm ²
$A_{s,2,1}$ = 754 mm ²	$A_{s,2,2}$ = mm ²	$A_{s,2,3}$ = mm ²	$A_{s,2,4}$ = mm ²	$A_{s,2,5}$ = mm ²	$A_{s,2,6}$ = mm ²	$A_{s,2,7}$ = mm ²	$A_{s,2,8}$ = mm ²	$A_{s,2,9}$ = mm ²	$A_{s,2,10}$ = mm ²
$A_{s,3,1}$ = 754 mm ²	$A_{s,3,2}$ = mm ²	$A_{s,3,3}$ = mm ²	$A_{s,3,4}$ = mm ²	$A_{s,3,5}$ = mm ²	$A_{s,3,6}$ = mm ²	$A_{s,3,7}$ = mm ²	$A_{s,3,8}$ = mm ²	$A_{s,3,9}$ = mm ²	$A_{s,3,10}$ = mm ²
$A_{s,4,1}$ = 754 mm ²	$A_{s,4,2}$ = mm ²	$A_{s,4,3}$ = mm ²	$A_{s,4,4}$ = mm ²	$A_{s,4,5}$ = mm ²	$A_{s,4,6}$ = mm ²	$A_{s,4,7}$ = mm ²	$A_{s,4,8}$ = mm ²	$A_{s,4,9}$ = mm ²	$A_{s,4,10}$ = mm ²
$A_{s,5,1}$ = 754 mm ²	$A_{s,5,2}$ = mm ²	$A_{s,5,3}$ = mm ²	$A_{s,5,4}$ = mm ²	$A_{s,5,5}$ = mm ²	$A_{s,5,6}$ = mm ²	$A_{s,5,7}$ = mm ²	$A_{s,5,8}$ = mm ²	$A_{s,5,9}$ = mm ²	$A_{s,5,10}$ = mm ²
$A_{s,6,1}$ = 754 mm ²	$A_{s,6,2}$ = mm ²	$A_{s,6,3}$ = mm ²	$A_{s,6,4}$ = mm ²	$A_{s,6,5}$ = mm ²	$A_{s,6,6}$ = mm ²	$A_{s,6,7}$ = mm ²	$A_{s,6,8}$ = mm ²	$A_{s,6,9}$ = mm ²	$A_{s,6,10}$ = mm ²
$A_{s,7,1}$ = 754 mm ²	$A_{s,7,2}$ = mm ²	$A_{s,7,3}$ = mm ²	$A_{s,7,4}$ = mm ²	$A_{s,7,5}$ = mm ²	$A_{s,7,6}$ = mm ²	$A_{s,7,7}$ = mm ²	$A_{s,7,8}$ = mm ²	$A_{s,7,9}$ = mm ²	$A_{s,7,10}$ = mm ²
$A_{s,8,1}$ = 754 mm ²	$A_{s,8,2}$ = mm ²	$A_{s,8,3}$ = mm ²	$A_{s,8,4}$ = mm ²	$A_{s,8,5}$ = mm ²	$A_{s,8,6}$ = mm ²	$A_{s,8,7}$ = mm ²	$A_{s,8,8}$ = mm ²	$A_{s,8,9}$ = mm ²	$A_{s,8,10}$ = mm ²
$A_{s,9,1}$ = 754 mm ²	$A_{s,9,2}$ = mm ²	$A_{s,9,3}$ = mm ²	$A_{s,9,4}$ = mm ²	$A_{s,9,5}$ = mm ²	$A_{s,9,6}$ = mm ²	$A_{s,9,7}$ = mm ²	$A_{s,9,8}$ = mm ²	$A_{s,9,9}$ = mm ²	$A_{s,9,10}$ = mm ²
$A_{s,10,1}$ = 754 mm ²	$A_{s,10,2}$ = mm ²	A_{s							

4.4 Posouzení únavy

Pro rozhodující průřezy bylo provedeno posouzení betonářské výztuže a tlačeného betonu dle ČSN EN 1992-2. Pro posouzení byl využit výhledový rozsah dopravy na mostě viz kapitola 4.1.114.1.11.

S ohledem na působení konstrukce byla na únavu posouzena pouze část, která je pod kolejí č. 5. Posudek pro beton v tlaku vychází z maximálního rozkmitu napětí v místě maximálního namáhání od dopravy. Výsledky získané pomocí metody uvedené v ČSN EN 1992-2 zejména s ohledem na únavovou pevnost betonu jsou značně konzervativní – dá se předpokládat výrazně nižší vliv únavy na mezní stavy, reálnější předpoklad je možné získat posudkem dle MC2010 (fib Model Code 2010).

- průřez v poli

POSOUZENÍ ÚNAVY ŽELEZNIČNÍCH MOSTŮ (dle ČSN EN 1992-2; dle ČSN EN 1992-1-1 ed. 2; MC2010)

rozměry posuzovaného prvku					
Výška průřezu:	h=	700	mm	Šířka průřezu:	b= 1000 mm
Tažená výztuž v 1. řadě:	6.67	Φ	32 mm	$A_{s,1}$	5362 mm ²
Tažená výztuž v 2. řadě:	6.67	Φ	25 mm	$A_{s,2}$	3272 mm ²
Tlačená výztuž:	6.67	Φ	20 mm	$A_{s,c}$	2094 mm ²
Osová vzdálenost od první řady:	c_2	50	mm	Krytí:	c= 50 mm
Tříminky/spony:	Φ	10	mm		

Vnitřní síly

M_{max} - char. kom. LM71 + Φ	$M_{Ek,max,71}$	826	kNm	M_{min} - char. kom. LM71 + Φ	$M_{Ek,min,71}$	752	kNm
M_{perm} - char. kom. bez LM71	$M_{Ek,perm}$	738	kNm	Předtlačená tahová oblast		NE	
M - LM71 bez α a Φ	M_{LM71}	65	kNm	Dynamický součinitel:	φ	1.352	-
N_{max} - char. kom. LM71 + Φ	$N_{Ek,max,71}$	0	kN	N_{min} - char. kom. LM71 + Φ	$N_{Ek,min,71}$	0	kN
N_{perm} - char. kom. bez LM71	$N_{Ek,perm}$	0	kN	N - LM71 bez α a Φ	N_{LM71}	0	kN
Prostý nosník				Rozhodující délka příčinkové čáry:	L	13.50	m

Vliv dopravy

s* běžná smíšená doprava	Roční objem dopravy:	Vol	4.680E+06	t/rok
jedna kolej na mostě	Návrhová životnost mostu:	N_{Years}	100	let

materiálové charakteristiky

beton (dle 1992-1-1 ed. 2)

Třída betonu:	C30/37	Tlaková pevnost	$f_{c,k}$ =	30.0	MPa
Typ cementu:	třída R	Součinitel únavy:	k_1 =	0.85	-
Stáří betonu:	t_0 = 100.00 dnů	Součinitel pevnosti betonu:	rov. 3.2 $\beta_{cc}(t_0)$ =	1.10	-
Součinitel:	α_{cc} = 0.90 -		rov. 6.76 $f_{cd,fat}$ =	14.79	MPa

únavové posouzení tlačeného betonu (dle 1992-2, přílohy NN; kap. NN.3.2)

Uvážení MC2010:		ANO		faktor napětí MC2010:	rov. 7.4-2	η_c =	0.67	-	
Horní napětí:	rov. NN.113	$\sigma_{cd,max,eq}$ =	9.60	MPa	Opravný součinitel:	rov. NN.114	λ_c =	0.75	-
Dolní napětí:	rov. NN.113	$\sigma_{cd,min,eq}$ =	8.93	MPa	Vliv trvalého napětí:	rov. NN.115	$\lambda_{c,0}$ =	1.12	-
Max char. napětí v bet., LM71 + ϕ		$\sigma_{c,max,71}$ =	14.78	MPa	Vliv kčního prvku:	tab. NN.3	$\lambda_{c,1}$ =	0.74	-
Min char. napětí v bet., LM71 + ϕ		$\sigma_{c,min,71}$ =	13.46	MPa	Vliv objemu dopravy:	rov. NN.116	$\lambda_{c,2,3}$ =	0.91	-
Napětí v bet. 2. kolej LM71 + ϕ		$\sigma_{c,2}$ =	14.78	MPa		rov. NN.118	a=	1	mm
		$E_{cd,min,eq}$ =	0.60	-			$E_{cd,max,eq}$ =	0.65	-
		R_{equ} =	0.93	-	$14 \cdot (1 - E_{cd,max,eq}) / (1 - R_{equ})^{0.5} \geq 6$ rov. NN.112				
			18.7	\geq	6				

TLAČENÝ BETON VYHOVUJE

únavové posouzení betonářské výztuže (dle 1992-2, přílohy NN; kap. NN.3.1)

Typ výztuže:		přímé a ohýbané pruty		Opravný součinitel:	rov. NN.107	$\lambda_s=$	0.57	-	
Sklon S-N čáry	tab. 6.3N (EN 1992-1-1)	$k_2=$	9	-	Vliv kčního prvku:	tab. NN.2	$\lambda_{s,1}=$	0.69	-
Poškozující rozkmit	rov. NN.106	$\Delta\sigma_{s,eq}=$	10.9	MPa	Vliv objemu dopravy:	rov. NN.109	$\lambda_{s,2}=$	0.83	-
Rozkmit napětí - LM71:		$\Delta\sigma_{s,71}=$	14.1	MPa	Vliv návrhové životnosti:	rov. NN.110	$\lambda_{s,3}=$	1.00	-
		$s_1=$	-				$s_2=$	-	
		$\gamma_{F,fat}=$	1.00	-			$\gamma_{s,fat}=$	1.15	-
Rozkmit napětí:		$\Delta\sigma_{s,eq}=$	162.5	MPa					

$$\text{rov. 6.71 (EN 1992-1-1)} \quad \gamma_{F,fat} \cdot \Delta\sigma_{s,eq} \leq \Delta\sigma_{Rsk} / \gamma_{s,fat}$$

$$10.9 \leq 141.3$$

TAŽENÁ BETONÁŘSKÁ VÝZTUŽ VYHOVUJE

- průřez v 1/4 rozpětí (u O1)

POSOUZENÍ ÚNAVY ŽELEZNIČNÍCH MOSTŮ (dle ČSN EN 1992-2; dle ČSN EN 1992-1-1 ed. 2; MC2010)

rozměry posuzovaného prvku					
Výška průřezu:	h=	625	mm	Šířka průřezu:	b= 1000 mm
Tažená výztuž v 1. řadě:	6.67	Φ	32 mm	$A_{s,1}$	5362 mm ²
Tažená výztuž v 2. řadě:	6.67	Φ	25 mm	$A_{s,2}$	3272 mm ²
Tlačená výztuž:	6.67	Φ	20 mm	$A_{s,c}$	2094 mm ²
Osová vzdálenost od první řady:	c_2 =	50	mm	Krytí:	c= 50 mm
Tříminky/spony:		Φ	10 mm		

Vnitřní síly					
M_{max} - char. kom. LM71 + Φ	$M_{Ek,max,71}$	607	kNm	M_{min} - char. kom. LM71 + Φ	$M_{Ek,min,71}$ 489 kNm
M_{perm} - char. kom. bez LM71	$M_{Ek,perm}$	502	kNm	Předtlačená tahová oblast	NE
M - LM71 bez α a Φ	M_{LM71}	78	kNm	Dynamický součinitel:	φ= 1.352 -
N_{max} - char. kom. LM71 + Φ	$N_{Ek,max,71}$	0	kN	N_{min} - char. kom. LM71 + Φ	$N_{Ek,min,71}$ 0 kN
N_{perm} - char. kom. bez LM71	$N_{Ek,perm}$	0	kN	N - LM71 bez α a Φ	N_{LM71} 0 kN
Prostý nosník			Rozhodující délka příčinkové čáry: L= 13.50 m		

Vliv dopravy					
s* běžná smíšená doprava jedna kolej na mostě			Roční objem dopravy:	Vol= 4.680E+06	t/rok
			Návrhová životnost mostu:	N _{Years} = 100	let

materiálové charakteristiky					
beton (dle 1992-1-1 ed. 2)					
Třída betonu:	C30/37	Tlaková pevnost	$f_{c,k}$	30.0	MPa
Typ cementu:	třída R	Součinitel únavy:	k_1	0.85	-
Stáří betonu:	t_0 = 100.00	dnů	Součinitel pevnosti betonu: rov. 3.2	$\beta_{cc}(t_0)$	1.10 -
Součinitel:	α_{cc} = 0.90	-	rov. 6.76	$f_{cd,fat}$	14.79 MPa

únavové posouzení tlačeného betonu (dle 1992-2, přílohy NN; kap. NN.3.2)					
Uvážení MC2010:	ANO	faktor napětí MC2010:	rov. 7.4-2	η_c	0.67 -
Horní napětí: rov. NN.113	$\sigma_{cd,max,eq}$	8.61	MPa	Opravný součinitel: rov. NN.114	λ_c 0.74 -
Dolní napětí: rov. NN.113	$\sigma_{cd,min,eq}$	7.32	MPa	Vliv trvalého napětí: rov. NN.115	$\lambda_{c,0}$ 1.09 -
Max char. napětí v bet., LM71 + Φ	$\sigma_{c,max,71}$	13.53	MPa	Vliv kčního prvku: tab. NN.3	$\lambda_{c,1}$ 0.74 -
Min char. napětí v bet., LM71 + Φ	$\sigma_{c,min,71}$	10.90	MPa	Vliv objemu dopravy: rov. NN.116	$\lambda_{c,2,3}$ 0.91 -
Napětí v bet. 2. kolej LM71 + Φ	$\sigma_{c,2}$	13.53	MPa	rov. NN.118	a= 1 mm
	$E_{cd,min,eq}$	0.49	-		$E_{cd,max,eq}$ 0.58 -
	R_{equ}	0.85	-		$14 \cdot (1 - E_{cd,max,eq}) / (1 - R_{equ})^{0.5} \geq 6$ rov. NN.112
		15.1	≥		6

TLAČENÝ BETON VYHOVUJE

únavové posouzení betonářské výztuže (dle 1992-2, přílohy NN; kap. NN.3.1)					
Typ výztuže:	přímé a ohýbané pruty	Opravný součinitel: rov. NN.107	λ_s	0.57	-
Sklon S-N čáry tab. 6.3N (EN 1992-1-1)	k_2	9	-	Vliv kčního prvku: tab. NN.2	$\lambda_{s,1}$ 0.69 -
Poškozující rozkmit rov. NN.106	$\Delta\sigma_{s,eq}$	15.1	MPa	Vliv objemu dopravy: rov. NN.109	$\lambda_{s,2}$ 0.83 -
Rozkmit napětí - LM71:	$\Delta\sigma_{s,71}$	19.4	MPa	Vliv návrhové životnosti: rov. NN.110	$\lambda_{s,3}$ 1.00 -
	s_1	-	-		s_2 -
	$\gamma_{F,fat}$	1.00	-		$\gamma_{s,fat}$ 1.15 -
Rozkmit napětí:	$\Delta\sigma_{s,eq}$	162.5	MPa		

$$\text{rov. 6.71 (EN 1992-1-1)} \quad \gamma_{F,fat} \cdot \Delta\sigma_{s,eq} \leq \Delta\sigma_{Rsk} / \gamma_{s,fat}$$

$$15.1 \leq 141.3$$

TAŽENÁ BETONÁŘSKÁ VÝZTUŽ VYHOVUJE

4.5 Mezní stavy použitelnosti – přetvoření a deformace

Mezní stavy použitelnosti vlivem přetvoření zahrnují:

- svislý průhyb,
- zkroucení koleje,
- pootočení koncového průřezu.

Přetvoření se posuzuje pro nahodilé zatížení železniční dopravou.

4.5.1 Svislý průhyb nosné konstrukce

Průhyby nosné konstrukce jsou určeny z výpočetního modelu v SCIA Engineer. Svislý průhyb nosné konstrukce od zatížení železniční dopravou nesmí překročit:

- mezní hodnotu $\delta_{p,lim,1}$ danou kritérii bezpečnosti dopravy,

(pro stanovení deformace se použije zatížení zatěžovacími schématy včetně klasifikačního součinitele α v charakteristických hodnotách včetně dynamického součinitele; včetně účinků odstředivých sil);

- mezní hodnotu $\delta_{p,lim,2}$ danou kritérii pohodlí cestujících

(pro stanovení deformace se použije zatížení návrhovým zatěžovacím schématem LM71 v charakteristických hodnotách bez klasifikačního součinitele α ; včetně dynamického součinitele ϕ ; včetně účinků odstředivých sil).

Rozpětí mostu:

L = 13.5 m

Součinitele:

ϕ = 1.352 (dynamický součinitel)

α = 1.21 (klasifikační součinitel)

Posouzení z hlediska bezpečnosti dopravy:

$d_{p,1}$ = 4.7 mm (vč. dynamického součinitele)

$d_{p,lim,1}$ = 22.5 mm (L/600)

VYUŽITÍ: 21.1 %

VYHOVUJE

Posouzení z hlediska pohodlí cestujících:

$d_{p,2}$ = 3.9 mm (bez klasif. souč. α ; vč. dynamického součinitele)

L/ $d_{lim,0}$ (V) = 600 (mezní hodnota svislého průhybu dle obr. 5.19)

$d_{lim,0}$ = 22.5 mm (základní mezní hodnota svislého průhybu)

k = 0.9 (mosty o třech a více spojitých polích)

$d_{p,lim,2}$ = 25.0 mm

VYUŽITÍ: 15.7 %

VYHOVUJE

4.5.2 Deformace koncového průřezu

V rámci posouzení deformace koncového průřezu jsou posouzeny následující veličiny:

- pootočení konců θ_p dle EN 1990, příl. A2, čl. A2.4.4.2.3;
- vodorovný posun konce podélné konzoly $\delta_{h,p}$ dle EN 1991-2, čl. 6.5.4.5.2(2);
- svislý posun konce podélné konzoly $\delta_{v,p}$ dle EN 1991-2, čl. 6.5.4.5.2(3).

Deformace koncového průřezu jsou stanoveny od klasifikovaného zatížení s uvážením dynamického součinitele ϕ .

ZATĚŽOVACÍ SCHÉMA	SKUP. ZATĚŽ. STAVŮ	POOTOČENÍ KONCE Q_p (mrad)	VODOR. POSUN KONCE $d_{h,p}$ (mm)	SVISLÝ POSUN KONCE $d_{v,p}$ (mm)
71	P1	0.82	0.00	1.47
EXTRÉM MEZNÍ HODNOTA		0.818 6.5	0.000 10	1.472 3.0
POSOUZENÍ VYUŽITÍ (%):		VYHOVUJE 12.6	VYHOVUJE 0.0	VYHOVUJE 49.1
POZNÁMKY:				
■ DEFORMACE KONCOVÉHO PRŮŘEZU JSOU UVAŽOVÁNY OD KLASIFIKOVANÉHO ZATÍŽENÍ VČETNĚ DYNAMICKÉHO SOUČinitele				

4.5.3 Dynamická analýza

Dle požadavku ČSN EN 1991-2 ed.2 byla provedena analýza 1. vlastní frekvence mostního objektu, která byla dále porovnána s mezemi stanovenými dle 6.4.4 (1). Nosná konstrukce splňuje kritéria, která nevyžadují dynamickou analýzu.

První vlastní frekvence (dynamický výpočet)

náhradní délka $L = 13.5 \text{ m}$ 4.19 Hz

Mezní hodnoty vlastních frekvencí pro rozpětí 4 až 20,0 m:

dolní mez $\min n_0 = 80,0 / L = 5.93 \text{ Hz}$
horní mez $\max n_0 = 94,76 \cdot L^{-0,748} = 13.52 \text{ Hz}$

Posouzení:

dolní mez	5.93 Hz	>	4.19 Hz	NEVYHOVUJE!
horní mez	4.19 Hz	<	13.52 Hz	VYHOVUJE!

Pokud nevyhovuje dolní mez vlastní frekvence:

maximální rychlost zatížení železniční dopravou 50 km/hod
1. vlastní frekvence 4.19 Hz
poměr $v / n_0 = 50 / 4.19 / 3,6 = 3.31 \text{ m}$

Limitní hodnota:

vstupní hodnoty pro Tab. 5.8: rozpětí, celkové tlumení a hmotnost

výpočet mezního tlumení pro $L < 20 \text{ m}$:

dolní mez tlumení (v % kritického tlumení)

$\zeta = 1.96 \%$

tlumení vlivem interakce vozidlo-NK (v % kritického tlumení)

$\Delta\zeta = 0.59 \%$

celkové tlumení (v % kritického tlumení)

$\zeta_{TOT} = 2.55 \%$

rozpětí

$L = 13.50 \text{ m}$

hmotnost

$m = 8.90 \text{ t/m}$

mezní hodnota v / n_0

$(v / n_0)_{lim} = 5.12 \text{ m}$

Posouzení:

$v / n_0 < (v / n_0)_{lim} \dots 3.31 \text{ m} < 5.12 \text{ m}$ VYHOVUJE!

NOSNÁ KONSTRUKCE NENÍ NÁCHYLNÁ K REZONANCÍM.

Maximální přípustná rychlost z hlediska rezonance:

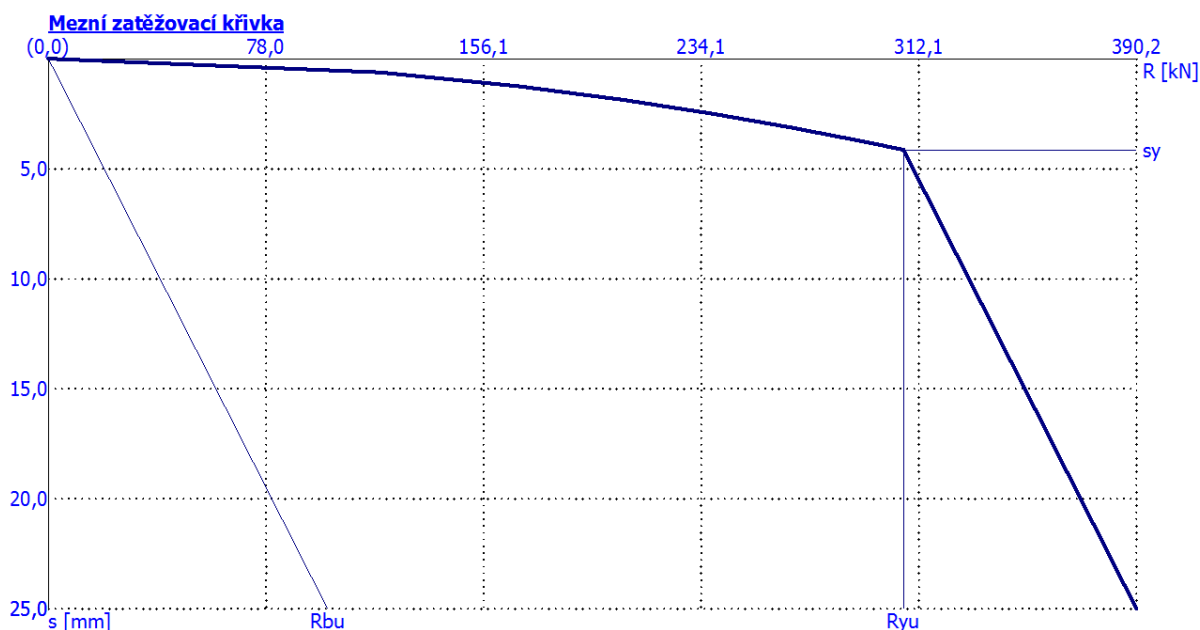
$v_{lim} = n_0 \cdot (v/n_0)_{lim} = 63.9 \text{ km/h}$

4.6 Založení

Založení je řešeno mikropilotami procházejícími skrz stávající opěrné zdi, které budou při provádění injektovány a tímto způsobem zpevněny. Veškeré přenášení zatížení se předpokládá v rámci injektovaného kořene pod úrovní základové spáry opěrných zdí.

4.6.1 Svislá tuhost mikropilot

Pro určení tuhosti podpor v rámci výpočtu nosné konstrukce byla sestavena mezní zatěžovací křivka náhradní piloty s průměrem 200 mm (dle uvažovaného vrtu). Tuhost mikropiloty byla stanovena v rozmezí cca 75-150 MN/m (dle velikosti uvažovaného zatížení). Do modelu byla uvažována střední hodnota cca 115 MN/m.



4.6.2 Posouzení

Posouzení únosnosti mikropilot bylo provedeno pomocí modulu SW GEO 5 – Mikropiloty.

Rekonstrukce nástupišť a zřízení bezbariérových přístupů v žst. Roudnice n. L.

SO 10-41 Úprava mostu v km 476,480

Výpočet Mikropiloty

Vstupní data

Nastavení

(zadané pro aktuální úlohu)

Materiály a normy

Betonové konstrukce : EN 1992-2
Součinitele EN 1992-2 : Česká republika
Ocelové konstrukce : EN 1993-1-1 (EC3)
Dílčí součinitel únosnosti ocelového průřezu : $\gamma_{M0} = 1,10$

Mikropiloty

Výpočet únosnosti dřívku : geometrická (Eulerova) metoda
Výpočet únosnosti kořene : metoda Lizziho
Metodika posouzení : mezní stavy

Součinitele redukce parametrů zemin		
Trvalá návrhová situace		
Součinitel redukce úhlu vnitřního tření :	$\gamma_{m\phi} =$	1,25 [-]
Součinitel redukce soudržnosti :	$\gamma_{mc} =$	1,40 [-]
Součinitel redukce kritické síly :	$\gamma_{mf} =$	1,00 [-]
Součinitel spolehlivosti cementové směsi :	$\gamma_{sc} =$	1,50 [-]
Součinitel spolehlivosti oceli :	$\gamma_{ss} =$	1,00 [-]
Součinitel redukce únosnosti kořene :	$\gamma_r =$	1,50 [-]

Parametry zemin

Třída F6, konzistence tuhá

Objemová tíha : $\gamma = 21,00 \text{ kN/m}^3$
 Úhel vnitřního tření : $\phi_{ef} = 19,00^\circ$
 Soudržnost zeminy : $c_{ef} = 12,00 \text{ kPa}$
 Obj.tíha sat.zeminy : $\gamma_{sat} = 21,00 \text{ kN/m}^3$

R4

Objemová tíha : $\gamma = 21,50 \text{ kN/m}^3$
 Úhel vnitřního tření : $\phi_{ef} = 28,00^\circ$
 Soudržnost zeminy : $c_{ef} = 200,00 \text{ kPa}$
 Obj.tíha sat.zeminy : $\gamma_{sat} = 21,50 \text{ kN/m}^3$

R3

Objemová tíha : $\gamma = 22,50 \text{ kN/m}^3$
 Úhel vnitřního tření : $\phi_{ef} = 32,00^\circ$
 Soudržnost zeminy : $c_{ef} = 500,00 \text{ kPa}$
 Obj.tíha sat.zeminy : $\gamma_{sat} = 22,50 \text{ kN/m}^3$

R5

Objemová tíha : $\gamma = 22,00 \text{ kN/m}^3$
 Úhel vnitřního tření : $\phi_{ef} = 25,00^\circ$
 Soudržnost zeminy : $c_{ef} = 90,00 \text{ kPa}$
 Obj.tíha sat.zeminy : $\gamma_{sat} = 22,00 \text{ kN/m}^3$

Geometrie

Průměr = 108,0 mm
 Tloušťka stěny = 16,0 mm

Volná délka mikropiloty $l = 6,60 \text{ m}$
 Délka kořene $l_r = 4,40 \text{ m}$

Průměr kořene $d_r = 0,18 \text{ m}$
 Odklon mikropiloty od svislice $\alpha = 0,00^\circ$
 Vysazení mikropiloty nad terén $l_a = 6,60 \text{ m}$

Materiál konstrukce

Objemová tíha $\gamma = 23,00 \text{ kN/m}^3$
 Výpočet betonových konstrukcí proveden podle normy EN 1992-2.



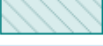

Beton : C 25/30

Válcová pevnost v tlaku $f_{ck} = 25,00 \text{ MPa}$
 Modul pružnosti $E_{cm} = 31000,00 \text{ MPa}$

Ocel konstrukční: EN 10210-1 : S 235

Mez kluzu $f_y = 235,00 \text{ MPa}$
 Modul pružnosti $E = 210000,00 \text{ MPa}$

Geologický profil a přiřazení zemin

Číslo	Vrstva [m]	Přiřazená zemina	Vzorek
1	1,00	Třída F6, konzistence tuhá	
2	2,00	R4	
3	1,00	R3	
4	-	R5	

Zatížení

Číslo	Zatížení		Název	Síla N [kN]	Moment M [kNm]
	nové	změna			
1	Ano		Zatížení č. 1	467,00	0,00

Hladina podzemní vody

Hladina podzemní vody je v hloubce 0,00 m od původního terénu.

Posouzení čís. 1

Posouzení průřezu 1

Výpočet proveden s automatickým výběrem nejnepríznivějších zatěžovacích stavů.

Ve výpočtu uvažován vliv koroze

Požadovaná životnost $t = 100$ [rok]

Typ zeminy: zeminy v přírodním uložení kontaminované

Posouzení vnitřní stability průřezu: geometrická (Eulerova) metoda

Výpočet vzpěrné délky průřezu - uložení (kloub-kloub).

Modul reakce podloží $E_p = 170,00$ MN/m³

Spočtený počet půlvln $n = 6,09$

Vzpěrná délka $l_{cr} = 1,02$ m

Kritická normálová síla $N_{crd} = 7776,14$ kN

Maximální normálová síla $N_{max} = 467,00$ kN

Vnitřní stabilita průřezu mikropiloty VYHOVUJE

Posouzení únosnosti spřaženého průřezu:

Plocha ideálního průřezu $A_i = 4,30E+03$ mm²

Moment setrvačnosti ideálního průřezu $J_i = 3,92E+06$ mm⁴

Štíhlost prutu $\lambda = 33,872$

Součinitel vzpěrnosti $\kappa = 0,957$

Napětí v oceli $= 123,34$ MPa

Výpočtová pevnost oceli $= 235,00$ MPa

Spřažený průřez mikropiloty VYHOVUJE

Posouzení čís. 1

Posouzení kořene

Způsob výpočtu - metoda Lizziho.

Součinitel vlivu průměru kořene $= 0,87$

Plášťové tření na kořeni

Číslo	Pořadnice [m]	Tření [kPa]
1	0,00	60,00
2	1,00	60,00
3	1,00	500,00
4	3,00	500,00
5	3,00	700,00
6	4,00	700,00
7	4,00	300,00
8	4,40	300,00

Posouzení tlačené mikropiloty

Únosnost pláště mikropiloty $R_s = 924,91$ kN

Výpočtová únosnost kořene mikropiloty $R_d = 616,61$ kN

Maximální normálová síla $N_{max} = 467,00$ kN

Únosnost tlačené mikropiloty VYHOVUJE

5 Přechodnost stávající konstrukce

Stávající konstrukce kleneb je z části kamenná, z části betonová. Vlastnosti jednotlivých konstrukčních materiálů jsou uvažovány v souladu se stavebně-technickým průzkumem z roku 1994.

5.1 Provozní zatížení

Provozní zatížení bylo uvažováno s ohledem na požadavky investora typu D4 s přidruženou rychlostí 120 km/h (D4-120) a D2 s přidruženou rychlostí 160 km/h (D2-160). Vzhledem k uspořádání náprav těchto referenčních souprav a k rozpětí klenby je rozhodujícím účinkem dvojice náprav, která zůstává zachována pro obě soupravy shodná. S přihlédnutím k této skutečnosti je uvažováno s D2, kdy vyšší přidružená rychlost je spojena s vyšším dynamickým součinitelem.

Referenční vůz	Zatížení na nápravu P (t)	Geometrické charakteristiky	Hmotnost na jednotku délky p (t/m) ^a
D2	22,5		6,4
D4	22,5		8,0

Dynamický součinitel (EN 1991-2 ed. 2 - příloha C, MP 5)

okrajové podmínky									
Náhradní délka:	$L_0 =$	11.40	m	Traťová rychlost	$v =$	160.00	km/h		
První vlastní frekvence:	$n_0 =$	-	Hz	Součinitel rychlosti:	$\alpha =$	1.00	-		
parametry koleje na mostě									
Přesypávka vyšší jak 1.0 m:		NE		Výška přesypávky:	$h =$	2.00	m		
Styk v koleji:		NE							
situace	n_0	K	φ'	φ''	$\Phi_{2,real}$	$\Phi_{3,real}$	$\Phi_{2,(6.4)}$	$\Phi_{3,(6.5)}$	
dolní mez frekvencí	7.02	0.28	0.38	0.15	1.458	1.534	1.273	1.410	
horní mez frekvencí	15.35	0.13	0.15	0.58	1.436	1.727			
vypočtená frekvence	-	-	-	-	-	-			

5.2 Materiálové charakteristiky

Materiál klenby byl určen na základě zkoušek provedených v rámci stavebně-technického průzkumu v roce 1994. Pevnost byla určena ze vzorku, který vykazoval nejnížší průměrnou pevnost $f_u = 5,83$ MPa. Malta byla i přes zatřídění do pevnosti M10 uvažována hodnotou $f_m = 5,0$ MPa. Výpočet charakteristické pevnosti viz dále. Výpočtová pevnost je řešena samostatně v programu LimitState. Dílčí součinitel materiálu $\gamma_M = 2,5$.

materiál - zdívo									
Kategorie zdícho prvku:	C			Zdíčí prvky kategorie II a jakákoli malta					
Skupina zdícho prvku:	skupina 1			plné zdívo					
Typ zdícho prvku:	Z přírodního kamene			Typ malty:	Obyčejná malta				
Třída provedení:	3			konstanta K:	K=	0.45	-		
průměrná pevnost v tlaku:	$f_c =$	5.83	MPa	pevnost malty:	$f_m =$	5.00	MPa		
součinitel tvaru prvku:	$\delta =$	1.15	-	souč. materiálu:	$\gamma_m =$	2.50	-		
součinitel kondicionování:	$\eta =$	1.00	-	konstanta α :	$\alpha =$	0.70	-		
normovaná pevnost v tlaku:	$f_k =$	6.70	MPa	konstanta β :	$\beta =$	0.30	-		
char. pevnost - tlak:	$f_k =$	2.76	MPa	návrhová pevnost zdiava:	$f_d =$	1.11	MPa		

5.3 Posouzení průřezů

Na základě vyhodnocení vnitřních sil z prutového modelu byla přechodnost posouzena s ohledem na absenci betonářské výztuže v souladu s požadavky normy pro navrhování zděných mostních konstrukcí ČSN P 73 6213 a kapitolou 12 v ČSN EN 1992-1-1.

Konstrukce pro zajištění přechodnosti, resp. zatížitelnosti musí splňovat následující kritéria:

- MSÚ
 - o Dostatečná únosnost N_{Rd} pro obdélníkový průřez s jednoosou výstředností
 - o Minimálně 20% tloušťky průřezu je v tlaku
- MSP
 - o Minimálně 50% tloušťky průřezu je v tlaku

V rámci výpočtu zatížitelnosti byly využity dynamické součinitele pro standardně udržovanou kolej $\varnothing_3 = 1,41$ (MSÚ) a pro pečlivě udržovanou kolej $\varnothing_2 = 1,273$ (MSP).

Dle výsledků stavebně-technického průzkumu byl pro betonovou část bezpečně uvažován beton třídy C12/15. Posouzení průřezů bylo provedeno na základě excentricity a na základě únosnosti obdélníkového průřezu s jednoosou výstředností. S ohledem na extrémně konzervativní výsledky této metody byly kritické průřezy určující výslednou přechodnost, respektive zatížitelnost ověřeny metodou mezních přetvoření při vyloučení betonu v tahu. Tímto postupem je zajištěna dostatečná bezpečnost konstrukce při odstranění zbytečné konzervativnosti přístupu.

5.3.1 Přechodnost konstrukce

V rámci určení přechodnosti byla na MSÚ klenba posouzena programem LimitState RING 3.0.f.15296. Klenba byla zadána svou reálnou geometrií vycházející ze zaměření stávajícího stavu, archivních podkladů a místního šetření.

Vyhodnocení je uvedeno pro stav, který byl nalezen jako nejméně příznivý.

- přechodnost – MSÚ

Geometrie

Globální:	Počet poli	Účinná šířka mostu						
	1	2400						
Span 1:	Zadejte	Tvar	Počet vrstev	Pole	Vzepětí ve středu rozpětí	Automaticky počítat úhly opěr?	Úhel VLEVO	Úhel VPRAVO
	Kamenná klenba	Segmentový	1	5715	1325	Ano	40	40
	Ring 1:	Počet bloků Tloušťka klenby						
		40	700					

Vlastnosti profilu násypu

Vzdálenosti měřené od levé patky levého pole.

Vodorovná vzdálenost (x)	Výška k povrchu násypu (y)	Tloušťka násypu (d)	Úroveň povrchu (y+d)
0	2480	350	2830

Vlastnosti násypu

Násyp

Objemová tíha 18	Úhel tření 30	Soudržnost 0
Modelovat roznášení pohyblivého zatížení? Ano	Modelovat vodorovný 'pasivní' tlak? Ano	
Typ roznášení Boussinesq	Úhel usmyknutí 30	
Rozhraní půda klenba, koeficient tření 0,66	Rozhraní půda klenba, součinitel soudržnosti 0,5	
Součinitel mobilizace Kp (mp) 0,33	Součinitel mobilizace soudržnosti (mpc) 0,05	
Ponechat mp.Kp > 1? Ano	Automaticky určit pasivní zóny? Ano	

Svršek a lože

Základní

Objemová tíha 20	Mezní úhel roznášení pohyblivého zatížení 15
----------------------------	--

Kolej

Zatížení železničním svrškem na jednotku plochy 2	Vzdálenost mezi pražci 600	
Délka pražce 2400	Šířka pražce 300	Výška pražce 220

Dílčí součinitele

Zatížení

Objemová hmotnost zdiva	Objemová tíha násypu	Objemová tíha povrchových vrstev	Zatížení železničním svrškem	Zatížení na nápravu	Dynamický
1	1	1	1	1.3	1.727

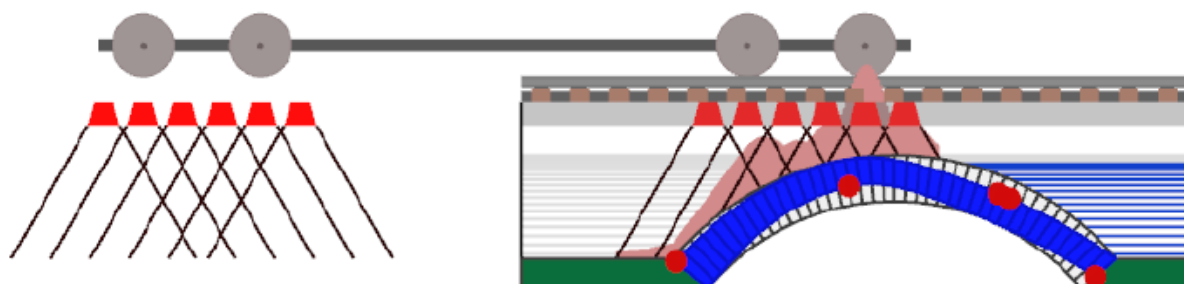
Materiály

Pevnost zdiva 2.5	Tření zdiva 1
-----------------------------	-------------------------

Výsledky

Součinitel únosnosti
1,35 v zatěžovacím stavu #22 (toto je rozhodující zatěžovací stav)

Režim odezvy aktuálního zatěžovacího stavu



- přechodnost – MSP

Stanovení zatížitelnosti části klenby z prostého betonu:

Posouzení na zatížení N+M dle MP: $N_{Rd} = \eta \cdot f_{cd} \cdot b \cdot (h - 2e)$

$Z_{D4} = 1.00$ - Hodnota zatížitelnosti konstrukce $dyn = 1.46$ -
 $d_{MIN} = 50\%$ - minimální tlacená část průřezu [%] $g_f = 1.00$ - $g_g = 1.00$ -

				Stálé				D4			Celkem								
průřez	b	h	η	f_{cd}	N_{Ed}	V_{Ed}	M_{Ed}	N_{Ed}	V_{Ed}	M_{Ed}	N_{Ed}	V_{Ed}	M_{Ed}	e	d_{min}	d	N_{Rd}		
	m	m	-	MPa	kN	kN	kNm	kN	kN	kNm	kN	kN	kNm	m	m	m	kN		
zatížení od koleje č. 4	1	1	0.70	1.00	2.76	-196	-5.3	0	-201	0	0	-397	-5.3	0	0	0.35	0.7	-1932	VYHOVUJE
	2	1	0.70	1.00	2.76	-185	-0.5	-1	-188	0	9.77	-373	-0.5	8.77	0.02	0.35	0.65	-1802	VYHOVUJE
	3	1	0.70	1.00	2.76	-174	3.2	-0.4	-171	0	21.3	-345	3.2	20.9	0.06	0.35	0.58	-1597	VYHOVUJE
	4	1	0.70	1.00	2.76	-164	5	1.2	-153	0	30.5	-317	5	31.7	0.1	0.35	0.5	-1381	VYHOVUJE
	5	1	0.70	1.00	2.76	-155	5.4	3.2	-139	0	37.3	-294	5.4	40.5	0.14	0.35	0.42	-1170	VYHOVUJE
	6	1	0.70	1.00	2.76	-148	4.6	5	-130	0	41.8	-277	4.6	46.8	0.17	0.35	0.36	-1000	VYHOVUJE
	7	1	0.70	1.00	2.76	-142	3.3	6.5	-122	0	46.9	-264	3.3	53.4	0.2	0.35	0.3	-814	NEVYHOVUJE
	8	1	0.70	1.00	2.76	-137	1.8	7.4	-115	0	48.1	-252	1.8	55.5	0.22	0.35	0.26	-717	NEVYHOVUJE
	9	1	0.70	1.00	2.76	-134	0.5	7.7	-109	0	42.7	-243	0.5	50.4	0.21	0.35	0.29	-788	NEVYHOVUJE
	10	1	0.70	1.00	2.76	-132	-0.1	7.7	-109	0	28.9	-242	-0.1	36.6	0.15	0.35	0.4	-1097	VYHOVUJE
	11	1	0.70	1.00	2.76	-132	0	7.7	-112	0	10.4	-244	0	18.1	0.07	0.35	0.55	-1524	VYHOVUJE
	12	1	0.70	1.00	2.76	-132	0.1	7.7	-117	0	-7.44	-249	0.1	0.26	0	0.35	0.7	-1926	VYHOVUJE
	13	1	0.70	1.00	2.76	-134	-0.5	7.7	-120	0	-21.7	-254	-0.5	-14	0.06	0.35	0.59	-1627	VYHOVUJE
	14	1	0.70	1.00	2.76	-137	-1.8	7.4	-122	0	-32.4	-259	-1.8	-25	0.1	0.35	0.51	-1401	VYHOVUJE
	15	1	0.70	1.00	2.76	-142	-3.3	6.5	-124	0	-39.2	-265	-3.3	-32.7	0.12	0.35	0.45	-1252	VYHOVUJE
	16	1	0.70	1.00	2.76	-148	-4.6	5	-125	0	-42.1	-273	-4.6	-37.1	0.14	0.35	0.43	-1181	VYHOVUJE
	17	1	0.70	1.00	2.76	-155	-5.4	3.2	-125	0	-41.3	-280	-5.4	-38.1	0.14	0.35	0.43	-1183	VYHOVUJE
	18	1	0.70	1.00	2.76	-164	-5	1.2	-124	0	-36.6	-288	-5	-35.4	0.12	0.35	0.45	-1254	VYHOVUJE
	19	1	0.70	1.00	2.76	-174	-3.2	-0.4	-121	0	-28.1	-295	-3.2	-28.5	0.1	0.35	0.51	-1398	VYHOVUJE
	20	1	0.70	1.00	2.76	-185	0.5	-1	-118	0	-15.9	-303	0.5	-16.9	0.06	0.35	0.59	-1624	VYHOVUJE
	21	1	0.70	1.00	2.76	-196	5.3	0	-115	0	0	-311	5.3	0	0	0.35	0.7	-1932	VYHOVUJE

- přechodnost – zprůměrně ověření MSP - kámen

Přechodnost - kamenná část klenby									
Průřez									
b _{eff} = 1000 mm	b _w = 1000 mm	H = 700 mm							
c ₁ = 50 mm	c ₂ = 50 mm	W _{k,max} = 0.30 mm							
Materiály									
ocel: B 500	beton: C12/15								
f _{yk} = 500 MPa	f _{ck} = 2.8 MPa								
f _{yk} = 434.8 MPa	E _{cm} = 27.0 GPa								
E _y = 200.0 GPa	f _{td} = 1.1 MPa								
E _{sk} = 50 [-10 ⁻³]	k = f _t /f _y = 1.08	α _s = 7.41	f _{ct,m} = 0.0 MPa						
	ε _{s3} = -1.75	ε _{s3} = -3.5 [-10 ⁻³]							
Ohybová výtěž									
0.1	Φ 8 mm	1. řada	A _{s1,1} = mm ²	(0.000%)					
0	Φ mm	2. řada	A _{s1,2} = mm ²	(0.000%)					
0	Φ mm	3. řada	A _{s1,3} = mm ²	(0.000%)					
0.1	Φ mm	z=0.350	A _{s2} = mm ²	(0.000%)					
Rozdělovací výtěž (minimální)									
1.0	Φ 4 mm	A _{s,sep} = mm ²							
(pro desky)	max po 450 mm	A _{s,min} < A _{s,1} < A _s < A _{s,max}							
		455 < 0 < 0 < 28 000	Nevyhovuje						
Smyková výtěž									
0	Φ 8 mm	A _{w,strip} = mm ²	α _w = 90						
	S _{se,at} = 150 mm	A _{w,strip} = mm ² /m ²	P _{w,s} = 0.00%						
0	Φ 16 mm	A _{w,bend} = mm ²	α _b = 45						
	S _{w,b} = 450 mm	P _{w,b} = 0.00%	P _{w,s} = 0.00%	Vyhovuje					
Stupeň výtěžení									
P _{w,s,min} < P _{w,s} < P _{w,s,max}	0.03% 0.00% 1.00% Vyhovuje								
Vnitřní síly na průřezu									
M _{Ed} = 0 kNm	N _{Ed} = -1 kN	V _{Ed} = 0 kN	(MSÚ)						
Excentricita pro MSÚ:									
M _{Ed, char} = 56 kNm	N _{Ed, char} = -252 kN	e _{char} = 0.220 m							
M _{Ed, kvaz} = 8 kNm	N _{Ed, kvaz} = -132 kN	e _{k, kvaz} = 0.058 m							
Štíhlostní kritérium									
l ₀ = 0.7 * 0 = 0.000 m	λ _{lim} = 272.433	λ = 0.000	L = 0.00 m						
i = √(0.029 / 0.700) = 0.202 m	λ = 0.000 / 0.202 = 0.000 - Masivní prvek								
Smyková únosnost - bez smykové výtěž									
V _{Ed,s} = (0.072 * 1.756 * 0.000 * 2.8 * 0.15 * 0.001) * 1000 = 0.000 MN									
V _{Ed,s} = 0.047 MN	V _{Ed} = 0.000 MN	0%	Vyhovuje						
Smyková únosnost - se smykovou výtěž									
Sklon tlakových diagonál	1 < cot θ = 1.428 < 2.5	θ = 35.00°	Vyhovuje						
součinitel redukce únosnosti tlak. diag.	V = 0.59338								
Dodatečná tahová síla									
ΔF _{td} = 1 * 0 * (1.428 - 0.000) = 0.000 MN									
Únosnost tlakové diagonály									
V _{Ed,max} = 0.59338 * 1.1 * 1000 * 315 / (0.70021 + 1.42815) = 0.097 MN									
Únosnost tržníků									
V _{Ed,st} = 0 * 434.8 * 0.315 * 1.42815 / 150 = 0.000 MN									
Únosnost ohybů									
V _{Ed,b} = 0 * 434.8 * 0.707 * 0.315 * 2.42815 / 450 = 0.000 MN									
Posouzení	V _{Ed,s} = 0.000 MN	V _{Ed} = 0.000 MN	0%	Vyhovuje					

Stavení napjatosti průřezu na MSÚ (M+N+V)									
Přetvoření betonu v tlaku	ε _{co} = -0.002 [-10 ⁻³]	ε _{co} = 0.700	m	Úprava polohy N.O.					
excentricita tlačných vláken	+0.1 mm	+1.0 mm	-0.1 mm	-1.0 mm					
vzdálenost N.O. od spodních vláken	e _z = 0.000	m	Silová podmínka vyhovuje						
Silová podmínka rovnováhy	celkem	0.0000	MN	rameno vnitřních sil z = 0.315 m					
Momentová podm. rovnováhy	M _{Ed} = 0.000	MNm							
Interakce ohybového a smykového namáhání									
Síla M	Síla V	G _{max}	ε _{max}	Posouzení					
[MN]	[MN]	[MPa]	[-10 ⁻³]						
Beton	-0.001	0.000	-0.001	0.0	Max.přetvoření betonu vyhovuje				
Výtěž (1)	0.000	0.000	-0.5	0.0	Max.přetvoření výtěž vyhovuje				
Výtěž (2)	0.000	0.000	0.0	0.0	Max.přetvoření výtěž vyhovuje				
Výtěž (3)	0.000	0.000	0.0	0.0	Max.přetvoření výtěž vyhovuje				
Výtěž tl.	0.000	0.000	-0.5	0.0	Max.přetvoření výtěž vyhovuje				
Posouzení - beton	f _{td} = 1.104 MPa	> σ _{co} = 0.001 MPa	< σ _s = -0.453 MPa	0%	Vyhovuje				
Posouzení - ocel	f _{sd} = 400.000 MPa	< σ _s = -0.453 MPa	0%	Vyhovuje					
Napětí v betonu									
Poloha N.O.				Přetvoření průřezu					
Mezní stav použitelnosti - omezení napětí				Přetvoření průřezu					
Posouzení - beton	0.6.f _{ck} = 1.656 MPa	> σ _{co} = 1.315 MPa	79%	Vyhovuje					
Posouzení - ocel	0.8.f _{yk} = 400.000 MPa	> σ _{s,max} = 6.074 MPa	2%	Vyhovuje					
Poloha N.O.				Přetvoření průřezu					
Mezní stav použitelnosti - výpočet trhlin				Přetvoření průřezu					
Posouzení - beton	0.45.f _{ck} = 1.242 MPa	> σ _{co} = 0.283 MPa	23%	lim.dotar					
Napětí v oceli	σ _{s,max} = -1.048 MPa	Ano							
ε _{sm} -ε _{cm} = (-1.048 - 0.4) * 1 + 0 = 0	Dlouhodobé účinky:								
ε _{sm} -ε _{cm} = 0.6 * -1.048 / 200.0 = -3.1E-06	ε _{sm} -ε _{cm} = 0.0000								
S _{1,max} = 0.58538 * 350 + 0.17 = 0	ε _{sm} -ε _{cm} = 0.00000								
W _k = 205 * -3.1E-06 = -0.001 mm	σ _{ct} = -0.094 MPa								
Posouzení	W _{k,max} = 0.300 mm	> W _k = -0.001 mm	0%	Trhliny při char.komb. Vyhovuje					

5.3.2 Zatížitelnost konstrukce

Zatížitelnost byla stanovena pro model zatížení LM71.

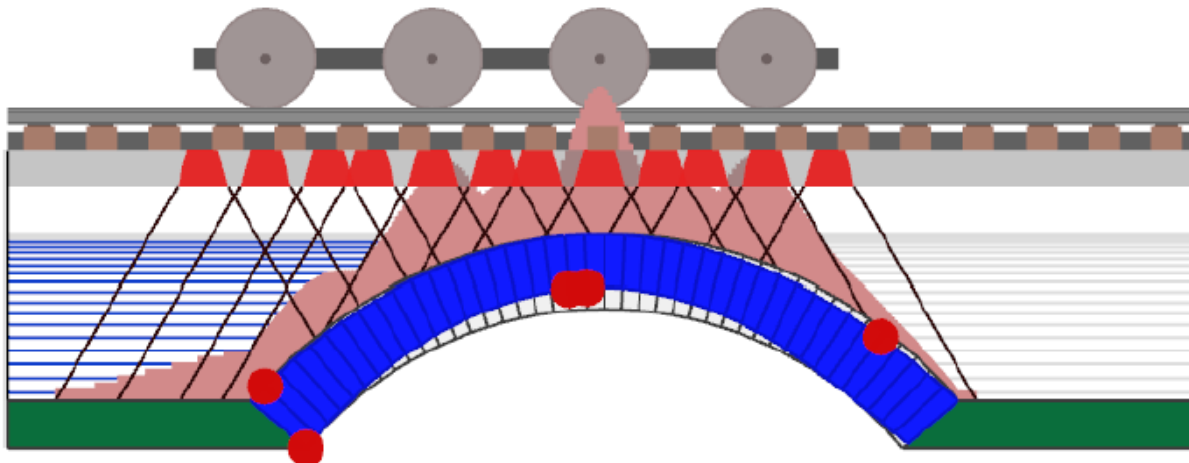
- zatížitelnost – MSÚ

Výsledky

Součinitel únosnosti

1,19 v zatěžovacím stavu #30 (toto je rozhodující zatěžovací stav)

Režim odezvy aktuálního zatěžovacího stavu



- zatížitelnost – MSP

Stanovení zatížitelnosti části klenby z prostého betonu:

Posouzení na zatížení N+M dle MP: $N_{Rd} = \eta \cdot f_{cd} \cdot b \cdot (h - 2e)$

$Z_{UIC} = 0.93$ - Hodnota zatížitelnosti konstrukce $dyn = 1.27$ -
 $d_{min} = 50\%$ - minimální tlacená část průřezu [%] $g_f = 1.00$ - $g_g = 1.00$ -

průřez	b	h	η	f_{cd}	Stálé			LM71			Celkem			e	d_{min}	d	N_{Rd}	
					N_{Ed}	V_{Ed}	M_{Ed}	N_{Ed}	V_{Ed}	M_{Ed}	N_{Ed}	V_{Ed}	M_{Ed}					
m	m	-	MPa	kN	kN	kNm	kN	kN	kNm	kN	kN	kNm	kN	m	m	m	kN	
1	1	0.70	1.00	6.40	-196	-5.3	0	-187	0	0	-383	-5.3	0	0	0.35	0.7	-4480	VYHOVUJE
2	1	0.70	1.00	6.40	-185	-0.5	-1	-173	0	9.71	-358	-0.5	8.71	0.02	0.35	0.65	-4169	VYHOVUJE
3	1	0.70	1.00	6.40	-174	3.2	-0.4	-160	0	20.7	-334	3.2	20.3	0.06	0.35	0.58	-3701	VYHOVUJE
4	1	0.70	1.00	6.40	-164	5	1.2	-143	0	32.4	-307	5	33.6	0.11	0.35	0.48	-3079	VYHOVUJE
5	1	0.70	1.00	6.40	-155	5.4	3.2	-128	0	39.1	-283	5.4	42.3	0.15	0.35	0.4	-2567	VYHOVUJE
6	1	0.70	1.00	6.40	-148	4.6	5	-118	0	45	-266	4.6	50	0.19	0.35	0.32	-2074	NEVYHOVUJE
7	1	0.70	1.00	6.40	-142	3.3	6.5	-110	0	47.2	-252	3.3	53.7	0.21	0.35	0.27	-1746	NEVYHOVUJE
8	1	0.70	1.00	6.40	-137	1.8	7.4	-103	0	47.7	-240	1.8	55.1	0.23	0.35	0.24	-1541	NEVYHOVUJE
9	1	0.70	1.00	6.40	-134	0.5	7.7	-98.3	0	37.8	-232	0.5	45.5	0.2	0.35	0.31	-1974	NEVYHOVUJE
10	1	0.70	1.00	6.40	-132	-0.1	7.7	-99.4	0	24.3	-232	-0.1	32	0.14	0.35	0.42	-2715	VYHOVUJE
11	1	0.70	1.00	6.40	-132	0	7.7	-103	0	6.04	-235	0	13.7	0.06	0.35	0.58	-3731	VYHOVUJE
12	1	0.70	1.00	6.40	-132	0.1	7.7	-107	0	-10.5	-239	0.1	-2.84	0.01	0.35	0.68	-4328	VYHOVUJE
13	1	0.70	1.00	6.40	-134	-0.5	7.7	-109	0	-22.5	-243	-0.5	-14.8	0.06	0.35	0.58	-3700	VYHOVUJE
14	1	0.70	1.00	6.40	-137	-1.8	7.4	-111	0	-31.7	-248	-1.8	-24.3	0.1	0.35	0.5	-3226	VYHOVUJE
15	1	0.70	1.00	6.40	-142	-3.3	6.5	-112	0	-37.6	-254	-3.3	-31.1	0.12	0.35	0.45	-2910	VYHOVUJE
16	1	0.70	1.00	6.40	-148	-4.6	5	-114	0	-40	-261	-4.6	-35	0.13	0.35	0.43	-2764	VYHOVUJE
17	1	0.70	1.00	6.40	-155	-5.4	3.2	-114	0	-38.8	-269	-5.4	-35.6	0.13	0.35	0.43	-2783	VYHOVUJE
18	1	0.70	1.00	6.40	-164	-5	1.2	-112	0	-34.2	-277	-5	-33	0.12	0.35	0.46	-2952	VYHOVUJE
19	1	0.70	1.00	6.40	-174	-3.2	-0.4	-110	0	-26.2	-284	-3.2	-26.6	0.09	0.35	0.51	-3284	VYHOVUJE
20	1	0.70	1.00	6.40	-185	0.5	-1	-108	0	-14.8	-293	0.5	-15.8	0.05	0.35	0.59	-3789	VYHOVUJE
21	1	0.70	1.00	6.40	-196	5.3	0	-104	0	0	-300	5.3	0	0	0.35	0.7	-4480	VYHOVUJE

6 Závěr

Mostní objekt byl posouzen ve smyslu platného souboru norem ČSN a ČSN EN. Veškeré posouzené prvky vyhověly požadavkům na mezní stavy únosnosti i použitelnosti.

Na základě posouzení je konstrukce přechodná pro požadované traťové třídy zatížení D4-120 a D2-160.

Statický výpočet byl zpracován bez znalosti konkrétního zhotovitele SO 10-41. Případné změny, které by vyplynuly z realizační dokumentace zhotovitele, musí být odsouhlaseny odpovědným projektantem objektu a schváleny objednatelem.

V Praze, září '19

Vypracoval:

Ing. Jakub Göringer, Ph.D.

SUDOP PRAHA a.s, Olšanská 1a, 130 80 Praha 3

tel: 267 094 128

e-mail: jakub.goringer@sudop.cz

7 Předpisy, normy, použité podklady

7.1 Normy

[1.1]	ČSN EN 1990 ed.2	Eurokód: Zásady navrhování konstrukcí (02/2011),
[1.2]	ČSN EN 1991-1-1	Eurokód 1: Zatížení konstrukcí. Část 1-1: Obecná zatížení-Objemové tíhy, vlastní tíha a užitná zat. pozemních staveb (03/2004, vč. změn),
[1.3]	ČSN EN 1991-1-4 ed.2	Eurokód 1: Zatížení konstrukcí - Část 1-4: Obecná zatížení – Zatížení větrem (04/2013),
[1.4]	ČSN EN 1991-1-5	Eurokód 1: Zatížení konstrukcí. Část 1-5: Obecná zatížení – Zatížení teplotou (05/2005, včetně změn),
[1.5]	ČSN EN 1991-1-6	Eurokód 1: Zatížení konstrukcí. Část 1-6: Obecná zatížení – Zatížení během provádění (10/2006, včetně změn),
[1.6]	ČSN EN 1997-1	Eurokód 7: Navrhování geotechnických konstrukcí - Část 1: Obecná pravidla (09/2006, včetně změn)
[1.7]	ČSN EN 1991-2 ed.2	Eurokód 1: Zatížení konstrukcí - Část 2: Zatížení mostů dopravou (11/2015),
[1.8]	ČSN EN 1992-1-1 ed.2	Eurokód 2: Navrhování betonových konstrukcí. Část 1-1: Obecná pravidla a pravidla pro pozemní stavby (07/2011, včetně změn),
[1.9]	ČSN EN 1992-2	Navrhování betonových konstrukcí - Část 2: Betonové mosty (05/2007, včetně změn),
[1.10]	ČSN EN 1998-1 ed.2	Eurokód 8: Navrhování konstrukcí odolných proti zemětřesení – Část 1: Obecná pravidla, seizmická zatížení a pravidla pro pozemní stavby (09/2013, včetně změn),
[1.11]	ČSN EN 1998-2 ed.2	Eurokód 8: Navrhování konstrukcí odolných proti zemětřesení – Část 2: Mosty (06/2013),
[1.12]	ČSN 73 0037/1990	Zemní tlak na stavební konstrukce,
[1.13]	ČSN 73 1001/1988	Zakládání staveb. Základová půda pod plošnými základy,
[1.14]	ČSN EN 206+A1	Beton – Část 1: Specifikace, vlastnosti, výroba a shoda (04/2018),
[1.15]	ČSN 73 6201	Projektování mostních objektů (10/2008, vč. změn),
[1.16]	ČSN EN 13670	Provádění betonových konstrukcí (06/2010, vč. změn),
[1.17]	Metodický pokyn SŽDC	Metodický pokyn pro určování zatížitelnosti železničních mostních objektů (09/2015),

8 Příloha A - Zatížitelnost

8.1 Úvod

Statickým výpočtem je prokázána spolehlivost návrhu nosné konstrukce mostu. Při návrhu bylo uvažováno zatěžovací schéma LM71 dle ČSN EN 1991-2.

Základní dispozice konstrukce respektuje požadavky objednatele.

Nosná konstrukce je navržena z betonu C30/37. Betonářská výztuž B500B.

8.2 Výpočet zatížitelnosti

Zatížitelnost prvků konstrukce je uvedena na následujících stranách. Rozhodující hodnoty zatížitelnosti jsou uvedeny v tab. 5.1.

Tab. 5.1 Zatížitelnost

Nová nosná konstrukce	
Zatížitelnost	$Z_{UIC} = 2,59$
Popis	Rozhodující prvek – omezení betonu v tlaku MSP
Stávající nosná konstrukce	
Zatížitelnost	$Z_{UIC} = 0,93$
Popis	Rozhodující prvek – rozevření spáry max. 50%

8.3 Přehled zatížitelnosti částí mostu

8.3.1 Nová konstrukce

A. Identifikace mostu

TÚ (číslo, název): 0801 Praha Mas. n. – Děčín hl. n. DÚ: K1 km: **476,680**

B. Identifikace části mostu

Část mostu: **nová nosná konstrukce**, poř. číslo: 1 pod kolejí č.: 5
(ve směru staničení)

C. Doplnující údaje části mostu

Kategorie zatížitelnosti: **C** Výpočtový model: desko-stěnový

Geometrie koleje, uvažovaná v přepočtu části mostu (ve směru staničení):

	na začátku	uprostřed	na konci
poloměr oblouku [m]	-	-	-
převýšení koleje [mm]	-	-	-
excentricita osy koleje [m]	-	-	-
poznámka: (-/+ = vlevo/vpravo; excentricita vztažena k ose nosné konstrukce)			

Popis závad uvažovaných v přepočtu části mostu:

Datum zjištění technického stavu mostu: SŽDC, s.o.:
zpracovatelem přepočtu:

Poznámka k části mostu:

č.	Prvek	Detail	Namáhání	k_i	typ	L_p	\emptyset_i	L_\emptyset	$\gamma_{Q,LM71}$	$\gamma_{Q,LM71,E}^{1)}$	Z_{LM71}	$Z_{LM71,E}^{2)}$
1	2	3	4	5	6	7	8	9	10	11	13	14
Mezní stavy únosnosti												
1	NK	deska	ohyb	1,0	M	13,5	1,352	13,5	1,45		5,93	
2	NK	deska	smyk	1,0	Q	13,5	1,352	13,5	1,45		2,85	
Mezní stavy použitelnosti												
3	NK	deska	omezení napětí	1,0	M	13,5	1,234	13,5	1,00		2,59	
Založení												
4	Mikropiloty		únosnost	1,0	A	13,5	1,000	13,5	1,45		1,58	

Dne: 5. 8. 2019

zatížitelnost určil: Ing. Jakub Göringer, Ph.D.

8.3.2 Stávající konstrukce

A. Identifikace mostu

TÚ (číslo, název): 0801 Praha Mas. n. – Děčín hl. n. DÚ: K1 km: 476,680

B. Identifikace části mostu

Část mostu: **stávající nosná konstrukce**, poř. číslo: 2 pod kolejí č.: 1, 2, 3, 4, 6
(ve směru staničení)

C. Doplňující údaje části mostu

Kategorie zatížitelnosti: **C** Výpočtový model: prutový

Geometrie koleje, uvažovaná v přepočtu části mostu (ve směru staničení):

	na začátku	uprostřed	na konci
poloměr oblouku [m]	-	-	-
převýšení koleje [mm]	-	-	-
excentricita osy koleje [m]	-	-	-
poznámka: (-/+ = vlevo/vpravo; excentricita vztažena k ose nosné konstrukce)			

Popis závad uvažovaných v přepočtu části mostu:

Datum zjištění technického stavu mostu: SŽDC, s.o.:
zpracovatelem přepočtu:

Poznámka k části mostu:

č.	Prvek	Detail	Namáhání	k_i	typ	L_p	\emptyset_i	L_\emptyset	$\gamma_{Q,LM71}$	$\gamma_{Q,LM71,E^1)}$	Z_{LM71}	$Z_{LM71,E^2)}$
1	2	3	4	5	6	7	8	9	10	11	13	14
Mezní stavy únosnosti												
1	Klenba	rozevření spáry	M+N	1,0	M	5,7	1,41	11,4	1,45		1,19	
Mezní stavy použitelnosti												
2	NK	Horní vl. příčel	omezení napětí	1,0	M	5,7	1,273	11,4	1,00		0,93	
Založení												
3	Zákl. spára		Únosnost	1,0	N	5,7	1,000	11,4	1,45		0,92	

Dne: 5. 8. 2019

zatížitelnost určil: Ing. Jakub Göringer, Ph.D.

